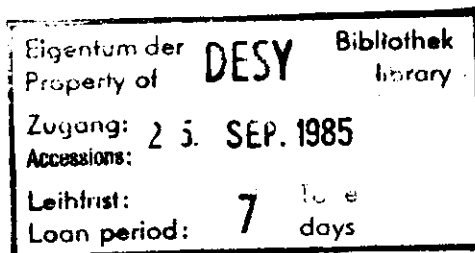


Interner Bericht
DESY D3-55
Juli 1985

Kurze Einführung in das Programmsystem
MORSE-CG mit Anleitung zur Benutzung
bei DESY

H.-J. Langanke



**DESY behält sich alle Rechte für den Fall der Schutzrechtserteilung und für die wirtschaftliche
Verwertung der in diesem Bericht enthaltenen Informationen vor.**

**DESY reserves all rights for commercial use of information included in this report, especially in
case of filing application for or grant of patents.**

**"Die Verantwortung für den Inhalt dieses
Internen Berichtes liegt ausschließlich beim Verfasser"**

Internier Bericht
DESY 03-55
Juli 1905

Kurze Einführung in das Programmsystem
MORSE-CG mit Anleitung zur Benutzung
bei DESY

H.-J. Langanke

Abstract

The multigroup Monte Carlo transport code MORSE-CG was implemented at DESY.

The code simulates the transport of primary particles (neutrons or photons) with energies up to 20 MeV and secondary particles (fission-neutron or gamma-rays) as well.

The system includes a package for the simulation of different geometries by combining simple geometric bodies (combinatorial geometry).

This report represents a short introduction into the code and a short guide for its usage.

1. Einleitung
2. Eigenschaften und Fähigkeiten von MORSE
3. Organisation von MORSE
 - 3.1 User-written Routines
 - 3.2 Random Walk
 - 3.3 Cross-section
 - 3.4 Geometry
 - 3.5 Analysis
4. Techniken
 - 4.1 Variance Reduction Techniques
 - 4.1.1 Source Energy Biasing
 - 4.1.2 Splitting
 - 4.1.3 Russian Roulette
 - 4.1.4 Path Length Stretching
 - 4.1.5 Non Leakage
 - 4.1.6 Energy Biasing
 - 4.2 Cuts
 - 4.3 Estimators
 - 4.3.1 Boundary Crossing
 - 4.3.2 Collision Estimator
 - 4.3.3 Point Detector Estimator
5. Organisation des Programmsystems MORSE am DESY
6. Wirkungsquerschnitte
7. Literatur
8. Anhang
 - 8.1 Programmliste MAIN
 - 8.2 Liste der Eingabedaten
 - 8.3 Datenausgabe

1. Einleitung

Neutron-Photon-Transport Kode MORSE.

In den späten sechziger Jahren entstand in der Neutronenphysik-Ableitung des Oak Ridge National Laboratory der "Monte-Carlo-Neutronen- und Photonen-transport Kode" MORSE.

Der Kode wurde 1970 (Str.70) freigegeben, zahlreiche Änderungen wurden mittlerweile an ihm vorgenommen.

Am DESY wurde die MORSE-CG Version implementiert, die für den Gebrauch an IBM-Maschinen geschrieben wurde. Sie wird von der Nuclear Energie Agentur der OECD und dem Oak Ridge Radiation Shielding Center verbreitet.

Eine gute und detaillierte Beschreibung des Kodes findet sich im überarbeiteten MORSE-Manual (Emm.75). Der Bericht von Gabriel (Gab.80) liefert eine gute Einführung in den Kode und seine Anwendung. Für eine Beschäftigung mit den Problemen des Transports von Neutronen und Photonen und den verschiedenen Rechentechniken hierzu bietet sich das Buch von A.E. Profis an (Prof.79), welches auch eine eingehende Beschreibung der "Monte-Carlo"-Methode enthält.

2. Eigenschaften und Fähigkeiten von MORSE

MORSE ist ein vielseitiger Monte-Carlo-Rechenkode zur Behandlung von Neutronen- und γ -Transportproblemen. Der Kode simuliert den Transport von primären Teilchen, diese können Neutronen oder Photonen sein. Ebenso kann MORSE sekundäre Teilchen wie Fission-Neutronen oder sekundäre γ -Strahlung transportieren. MORSE nutzt Vielfachgruppen-Wirkungsquerschnittssätze (multigroup cross-section sets). Darüberhinaus bietet der Kode die Möglichkeit, eine Geometrie dreidimensional zu behandeln, anisotrope Streuung zu berücksichtigen oder den Albedo für jede Materialoberfläche zu berechnen. In einigen Fällen ist es von Interesse, ein rückwärts gerichtetes Problem zu lösen. Dies heißt, einen Transport von Teilchen derart zu betrachten, daß der Detektor als Ort einer Strahlungsquelle angenommen wird. Auch diese "adjoint option" ist im Kode enthalten.

3. Organisation von MORSE

MORSE besteht aus einer Reihe von Modulen, die voneinander unabhängig und leicht einsetzbar sind und so den in sie gesetzten Anforderungen entsprechen können. Diese Module sind: user-written routines (source), random walk, cross-section, analysis und geometry.

3.1 User-written Routines

Verlangt ein Benutzer von dem Rechenkode spezielle Resultate, wie z.B. Reaktionsraten, Dosisraten oder Teilchenfluenzen, so muß er eigene Routinen erstellen, die ihn diese Größen errechnen und auch ausdrucken. Diese Routinen wurden zusammengefaßt zu einer Startroutine mit dem Namen MAIN.

Die Kommunikation zwischen diesen user-written routines und dem Programm MORSE erfolgt über ein "interface", welches hauptsächlich aus dem Common NUTRON und der Subroutine BANKR zusammengesetzt ist. Ist ein Teilchen durch ein Ereignis betroffen, so werden alle neuen Werte der Teilchenparameter in NUTRON abgespeichert. Bei jedem Ereignis ruft der Kode ferner die Subroutine BANKR (Argument) mit einem Argumentwert auf, der zwischen -4 und +13 liegt. Damit zeigt das Programm an, was es gerade kalkuliert bzw. welche Art von Ereignis gerade beendet wurde.

Auch die räumliche Verteilung der Quelle muß vom Benutzer durch eine geeignete Routine implementiert werden.

3.2 Random Walk

Die Routinen dieses Moduls simulieren den Zufallslauf der Teilchen von ihrer Erzeugung bis zu ihrer Vernichtung. Gemäß der Energieverteilung und der Position, die durch die Eingabedaten beschrieben wird, werden die Teilchen ausgewählt, und über die ganze Folge der möglichen Ereignisse hinweg begleitet.

Diese Folge der Ereignisse eines Teilchens heißt "history". Eine Gruppe dieser "histories" nennt man "batch". Ein ganzer

Satz solcher "batches" heißt "run".

Als Quelle bezeichnet man den Bereich, aus dem Teilchen emittiert werden. Der Bereich kann räumlich, flächenhaft oder punktförmig sein; die Teilchen können isotrop, parallel usw. emittiert werden. Die Eigenschaften der Quelle, d.h. die Angabe über ihre Ausdehnung, das Spektrum der Quelle, die Winkelverteilung der emittierten Teilchen usw. werden von dem Benutzer festgelegt.

Für die in unseren Kalkulationen häufig benutzte monoenergetische 14 MeV Neutronenquelle wurde die Quelle durch Neutronen im Energiebereich von 14,2 bis 13,8 MeV beschrieben. Dies entspricht der Energiegruppe 4 der 37 Neutronenenergiegruppen.

Während seines "random walks" kann ein Teilchen folgenden Ereignissen unterzogen werden:

- a. Kollision mit einem Kern
- b. Kreuzen einer Grenze zwischen zwei verschiedenen Medien
- c. Reflexion oder Albedo
- d. Erzeugung sekundärer Teilchen
- e. "Splitting"
- f. Russisches Roulette.

Die Teilchen - "history" ist beendet, wenn eins der folgenden Ereignisse eintritt:

- a. Austritt aus der Systemgrenze
- b. Unterschreiten einer Energiegrenze
- c. Überschreiten der zugelassenen Lebensdauer
- d. Tod durch Russisches Roulette.

Für ein durch ein Ereignis betroffenes Teilchen werden die neuen Werte der Teilchenparameter berechnet und in dem Common "NUTRON" abgespeichert.

Die Lösung eines Problems kann einen oder mehrere "runs" benötigen. Für jeden "batch" wird eine Kalkulation der gewünschten Resultate durchgeführt. Die verschiedenen "batches" werden herangezogen, um eine Abschätzung des statistischen Fehlers vorzunehmen.

Ein Problem wird durch den Kode abgeschlossen, wenn alle verlangten "batches" durchgeführt sind, oder wenn die Rechenzeit überschritten wurde.

3.3 Cross-section

Das Standard "cross-section" -Modul benutzt "multigroup cross-section sets" vom ANISN Format (Eng.67), die ebenfalls über RSIC oder NEA bezogen werden können. Das Modul akzeptiert darüberhinaus auch DIFF-IV- und DOT-Wirkungsquerschnittsformate.

Verschiedene dieser Sets existieren und sind meist auf ein spezielles Problem zugeschnitten. Die Gruppen der Neutronenwirkungsquerschnitte sind überwiegend bis zu einer maximalen Energie von 20 MeV ausgelegt, während demgegenüber die der Photonenwirkungsquerschnitte auf maximal 14 MeV begrenzt sind, um somit den Problemen zu begegnen, die oberhalb dieser Energie bei der Behandlung der Paarbildung auftreten (Cer.84). Die Paarbildung wird unterhalb dieser Energie einfach durch "Herabstreuung" in die 500 keV Energiegruppe berücksichtigt.

3.4 Geometry

Das Geometrie-Modul besteht aus dem "combinatorial-geometry package-CG".

In diesem Modul lassen sich auch relativ komplizierte Geometrien aus leichten geometrischen Grundkörpern (Zylinder, Kugel, Box etc.) konstruieren unter Verwendung von nur drei Operationen: Addition, Subtraktion und der Bildung des Durchschnitts. Man unterscheidet in dieser Geometrie zwischen "Zonen" (dies sind Raumanteile, die durch ihre Materialeigenschaften bestimmt sind) und "Regionen" (bestimmt durch ihre Wichtigkeit).

Um Hilfe zu leisten bei der Aufstellung der Eingabedaten für das Geometrie-Modul und auch bei der Fehlersuche, können spezielle Hilfsprogramme benutzt werden.

Das Programm PICTURE (Inv.70) produziert von ausgewählten Geometrieebenen Ausdrücke auf einem Zeilendrucker. Dieses Programm wird

zusammen mit dem Hauptkod vertrieben und ist auch in der "RSIC-Computer Code Collection" beschrieben.
Ähnliche Informationen liefert, jedoch für einen graphischen Drucker, das Programm PLOTGEOM (Jaa.73), das vom Ispra Joint Research Centre erstellt wurde.

3.5. Analysis

Das Standard Analyse Modul in MORSE ist SAMBO (Stochastic Analysis Machine for Bookkeeping).

SAMBO ist sehr flexibel zu nutzen, eine willkürliche Anzahl von Detektoren, energieabhängigen "response"-Funktionen, Energie-, Zeit- und Winkel-"bins" sind erlaubt. Die einzige Begrenzung ist allein durch die Größe des Kernspeicherplatzes gegeben. Für die Kalkulation von Fluenzen oder stromähnlichen Mengen können verschiedene Arten von "estimators" benutzt werden. Ebenso können Reaktionsraten, Kerma oder ähnliche Größen erhalten werden.

Zum Ausdruck kommen, je nach Wahl:

1. "uncollided"- und "total-response", (letztere ist die Fluenz integriert über jede "response"-Funktion für jeden Detektor);
2. Fluenz pro Energie und Detektor;
3. zeitabhängige response (Zeitabhängige Fluenz über jede "response" an jedem Detektor integriert);
4. Fluenz pro Zeit, Energie und Detektor;
5. Fluenz pro Winkel, Energie und Detektor.

Jede der analysierten Dateo in diesen Ausdrücken wird mit ihrer prozentualen Standard-Abweichung angeben. (FSD, fractional standard deviation).

Als Detektor bezeichnet man den Bereich, in dem die Anzahl der Teilchen oder deren Wirkung interessiert. Dabei müssen die Eigenschaften des Detektors festgelegt werden, damit aus der Anzahl und den Eigenschaften der eingetroffenen Teilchen die gewünschten Meßgrößen berechnet werden können.

Die Eigenschaften werden durch die "response" bestimmt, diese legt fest, ob es sich um Fluenze, Dosen, Aktivierungsralen etc. handelt.

Die Berechnungen der Meßgrößen führen die "estimatorn" durch. Ferner muß die Ausdehnung und die Position des Detektors angegeben werden.

4. Techniken

4.1 Variance Reduction techniques

Jedes Teilchen hat beim Start das Gewicht $w = 1$, wenn nichts anderes gefordert wurde.

In MORSE werden nun Teilchen nicht absorbiert, sondern das Teilchengewicht wird nach jeder Kollision gemäß der Absorptionswahrscheinlichkeit vermindert.

Das Gewicht des Teilchens ändert sich dann bei jeder Kollision auf

$$w_{\text{new}} = \frac{\sum_t - \sum_a}{\sum_t} w_{\text{old}}$$

mit \sum_t = totaler W.Q; \sum_a = Absorptions-W.Q.

Obwohl bereits eine Art von "variance reduction technique" bewirkt dies Verfahren immer noch lange Teilchenläufe und breite Fluktuationen und zieht einen entsprechenden Zeitbedarf nach sich.

Deshalb werden Verfahren angeboten, die eine zuverlässige und ökonomische Lösung eines Problems erlauben, in dem sie die Varianz der Verteilungen aus Ereignissen auf ausgewählten Teilchenwegen reduzieren oder aber sich auf Teilchen des Phasenraums R konzentrieren, die einen signifikanten Beitrag zur verlangten Detektorresponse leisten.

Die sechs "Variance reduction techniques" sind:

1. source energy biasing
2. splitting
3. russian roulette
4. path length stretching
5. non leakage
6. energy biasing

Von diesen Techniken ist die erste stets unabhängig von dem geometrischen Ort (Region). Alle anderen VRT. können in einem positionsabhängigen Weg angewendet werden. Für diese Zwecke ist die Geometrie in Regionen unterteilt, die völlig unabhängig von

dem Medium des Materials sein können.

4.1.1 Source Energy Biasing

Will man bestimmte Energiegruppen des Quellenergiespektrums beeinflussen, so werden die Quellteilchen in den verschiedenen Energiegruppen nach einer Wahrscheinlichkeitsverteilung erzeugt, die von der natürlichen abweicht. Man erreicht damit, daß gewisse Energiegruppen des Quell-Spektrums eine größere Importanz bekommen. Diese Technik reduziert das Teilchengewicht für die beeinflußten Energiegruppen.

4.1.2

4.1.3 Splitting und Russian Roulette

Benutzt man "splitting" und "russian roulette", so werden für jede Region und jede Gruppe drei Parameter eingelesen: WIHI, WILOW und WIAVE. WIHI und WILOW sind die obere und die untere Grenze des Teilchengewichts.

Hat ein Teilchen nur wenige Kollisionen gemacht, dann hat es ein großes Gewicht, was ihm in Detektornähe einen sehr großen Einfluß auf das Ergebnis verschafft. Es ist deshalb günstiger, in einem Detektor Teilchen mit etwa gleich großem Gewicht zu haben.

Überschreitet nun das Gewicht eines Teilchens WIHI, so wird es "gesplittet", bis das Teilchengewicht w_i unter diesen Wert abgesunken ist. Dabei wird das Teilchen in 2 Teile aufgeteilt mit jeweils dem halben Gewicht von w_i . Anschließend laufen beide Teilchen dann getrennte Wege.

Ist das Gewicht eines Teilchens kleiner geworden als eine untere Grenze WILOW, so wird "russian roulette" gespielt, d.h. es wird gewürfelt, ob das Teilchen weiter existieren soll. Überlebt das Teilchen, so ist sein neues Gewicht WIAVE.

Mit dieser Technik vermeidet man lange Rechenvorgänge für Regionen, die wenig Einfluß auf das Ergebnis haben.

Es muß stets gelten:

$$WILOW \leq WIAVE \leq WIHI$$

und allgemein ist günstig zu wählen

$$3 < WIHI/WILOW \approx 10 \text{ und}$$

$$WIAVE \approx WIHI.$$

4.1.4 Path Length Stretching oder Exponential Transform

Mit dieser Technik zwingt man ein Teilchen in Richtung Detektor zu fliegen, in dem man die mittlere freie Weglänge L als Funktion der Richtung verändert. Die effektive Anzahl der mittleren freien Weglängen L' zu den nächsten Kollisionen erhält man aus:

$$L' = L (1 - q \cdot \cos \alpha)$$

α ist der Winkel zwischen Teilchenflugrichtung und der Verbindungsline Kollisionspunkt - Detektor.

q ist ein Koeffizient zwischen 0 und 1, er gibt die Stärke der Wirkung an.

Diese Technik vermindert das statistische Gewicht der Teilchen.

4.1.5 Non Leakage

Die Verwendung dieser Technik untersagt es einem Teilchen, aus einem System zu entweichen.

Erreicht wird dies durch eine Beeinflussung der Flugstrecken-Verteilungsfunktion (flight-path-distribution-function), die durch

$$P_0(n) = e^{-n}$$

gegeben ist. n ist die Distanz die in mittleren freien Wegen zurückgelegt wird.

4.1.6 Energy Biasing

Für jede Gruppe und für jedes Medium kalkuliert MORSE die Energieverteilung der gestreuten Teilchen.

Hierfür benutzt das Programm die Wirkungsquerschnitte der Gruppezu-Gruppe-Übergänge des entsprechenden Mediums.

Für ein Teilchen, das eine Kollision in der Region NREG eingeht, läßt sich die relative Wichtigkeit der Energiegruppen beeinflussen. Dabei wird die Wahrscheinlichkeit für einen Übergang von einer Gruppe in die nächste mit einem Faktor multipliziert, während gleichzeitig das Teilchengewicht durch den gleichen Faktor dividiert wird.

Dieses "energy biasing" kann in Abhängigkeit von der Region vorgenommen werden.

4.2 Cuts

Auch "cuts" sind im Prinzip Techniken, die man als "importance sampling"-Probennahme nach ihrer Wichtigkeit auffassen kann. Man versteht unter einem "cut" das Abschneiden einer Teilchen-spur, wenn z.B. die Energie eines Teilchens so niedrig ist, daß es wenig wahrscheinlich scheint, daß dieses Teilchen jemals den Detektor erreichen wird, bzw. daß dieses Teilchen nur einen unwesentlichen Beitrag zu einer "response", -wie z.B. einer Dosis-, leistet wird.

Auch wenn Teilchen ein hohes Alter haben, weil sie entweder viele Kollisionen hatten oder lange Wege zwischen den Kollisionen zurücklegten, beendet man meist ihren Lauf und führt einen "cut-off" durch.

4.3 Estimators

Um aus der Anzahl und den Eigenschaften der in einen Detektor ein-fliegenden Teilchen eine Fluenz $\phi(E, \vec{r})$ zu berechnen, benötigt man geeignete Estimatoen.

4.3.1 Boundary-crossing Estimator

(bzw. Surface-crossing Estimator)

Bei diesem Estimator registriert ein Detektor die Anzahl der Teilchen, die durch eine Fläche hindurchgehen, und ermittelt hieraus die Fluenz gemäß:

$$\phi(E, \vec{r}) = \frac{\sum_{i=1}^N w_i (\cos\alpha_i)^{-1}}{\Delta E \cdot \Delta F \cdot M}$$

mit

N = Anzahl der Teilchen im Energieintervall $E \dots E + \Delta E$, die ΔF treffen

w_i = Gewicht des Teilchens i , das die Fläche ΔF trifft

ΔF = Fläche des Detektors an der Stelle \vec{r}

M = Anzahl der Quellteilchen

α_i = Winkel zwischen der Normalen der Fläche ΔF und der Teilchenflugrichtung

ΔE = Energieintervall

Dieser Estimator ist vorteilhaft bei Problemen, bei denen große Detektorflächen gewählt werden können, z.B. kugel- oder zylindersymmetrische Probleme.

4.3.2 Collision Estimator

(Collision-density Estimator)

Auch aus der Anzahl der Wechselwirkungen in einem beliebigen Volumen läßt sich, bei bekanntem Wirkungsquerschnitt, die Fluenz berechnen. Voraussetzung ist allerdings, daß genügend Kollisionen in ΔV zur Verfügung stehen (bzw. daß das Volumen ΔV groß gemacht werden kann).

$$\phi(E, \vec{r}) = \frac{\sum_{i=1}^{N_c} w_i^{\text{coll}}}{\sum_t (E) \cdot \Delta V \cdot \Delta E \cdot M}$$

mit

N_c = Anzahl der Kollisionen in Volumen ΔV der Teilchen des Energiebereichs $E \dots E + \Delta E$

w_i^{coll} = Gewicht des Teilchens i , das in ΔV eine Kollision macht

ΔV = Detektorvolumen an der Stelle \vec{r} , beliebiges Volumen

$\sum_t (E)$ = totaler Wirkungsquerschnitt des Materials im Volumen ΔV im Intervall $E \dots E + \Delta E$

M = Anzahl der Quellteilchen

ΔE = Energieintervall

Eine Verbesserung des Estimators erreicht man, wenn man alle Teilchen verwendet, die in das Volumen ΔV eintreten, und diese mit der Wahrscheinlichkeit multipliziert, daß sie im Volumen-intervall ΔV einer Wechselwirkung unterliegen.

Dieser Estimator heißt dann "predicted collision estimator".

$$\Phi(E, \vec{r}) = \frac{\sum_{i=1}^{N_e} w_i \text{enter} \cdot [1 - e^{-\sum_t(E) d_i}]}{\sum_t(E) \Delta V \cdot \Delta E \cdot M}$$

mit

N_e = Anzahl der Teilchen, die ins Volumen ΔV eintreten, im Energiebereich $E \dots E + \Delta E$

$w_i \text{enter}$ = Gewicht des Teilchens i , das ins Volumen ΔV eintritt

d_i = Weglänge des Teilchens i in ΔV .

Den "track-length estimator" als Spezialfall des "predicted collision estimators" erhält man, wenn $\sum_t d$ sehr klein ist ($\ll 1$). Dann läßt sich der Estimator approximieren:

$$1 - e^{-\sum d} \approx 1 - (1 - \sum d) = \sum d$$

und somit erhält man:

$$\Phi(E, \vec{r}) = \frac{\sum_{i=1}^{N_e} w_i \text{enter} \cdot d_i}{\Delta V \cdot \Delta E \cdot M}$$

4.3.3 Point-Detector Estimator

(Point-flux Estimator bzw. Next Event (Collision) Estimators oder Statistical Estimator)

Alle bisher vorgestellten Estimatoren sind unbrauchbar, wenn der Detektor sehr klein ist (im Extremfall ein Punkt) und nur wenige Teilchen bzw. keine Teilchen in den Detektor gelangen.

In diesen Fällen berechnet man für jeden Punkt, an dem ein Teilchen festgehalten ist, die Wahrscheinlichkeit, mit der das Teilchen den Detektor (oder mehrere) trifft.

Dies entspricht der Wahrscheinlichkeit, daß das Teilchen bei einer Kollision mit der richtigen Energie in Detektorrichtung gestreut wird, multipliziert mit der Wahrscheinlichkeit, daß es dann auf Grund der Entfernung den Detektor auch erreicht.

Die Punkte, an denen ein Teilchen festgehalten ist, sind die Quelle und jede Kollision.

$$\Phi(E, \vec{r}) = \frac{\sum_{i=1}^N q_i(E' \rightarrow E; \vec{\Omega}' \rightarrow \vec{\Omega}) e^{-\sum_t(E) |\vec{r}_i - \vec{r}|}}{|\vec{r}_i - \vec{r}|^2} \cdot \frac{w_i}{\Delta E \cdot M}$$

Es sind:

N = Anzahl der Teilchen im Energieintervall $E \dots E + \Delta E$, die betrachtet werden. Sie setzt sich zusammen aus N_s (source particles) + N_c (number of collisions).

$q_i(E' \rightarrow E; \vec{\Omega}' \rightarrow \vec{\Omega})$ = Wahrscheinlichkeit, daß das Teilchen i der Energie E' und der Flugrichtung $\vec{\Omega}'$ bei der Kollision die Energie E erhält und in die Richtung $\vec{\Omega}$ des Detektors gestreut wird *)

\vec{r}_i = Koordinaten des Teilchens i

\vec{r} = Koordinaten des Detektors

w_i = Gewicht des Teilchens i

M = Anzahl der Quellteilchen

$\sum_t(E)$ = Wirkungsquerschnitt im Bereich $E \dots E + \Delta E$

*) Handelt es sich um ein Quellteilchen, so ist dies die Wahrscheinlichkeit, daß es mit der Energie E in Detektorrichtung emittiert wird.

Dieser Estimator erlaubt es, die Beiträge von Quelle und Kollision getrennt zu betrachten. Emittiert die Quelle z.B. ihre Teilchen isotrop, dann kann man separieren

$$\Phi(E, \vec{r}) = \Phi_{\text{uncoll}} + \Phi_{\text{coll}}$$

mit:

$$\Phi(t, \vec{r})_{\text{uncoll}} = \sum_{i=1}^{N_s} \frac{e^{-\Sigma_t(t)} |\vec{t}_i - \vec{t}|}{4\pi |\vec{r}_i - \vec{r}|^2} \cdot \frac{w_i}{E + M}$$

$$\Phi(t, \vec{r})_{\text{coll}} = \sum_{i=1}^{N_c} \frac{q_i(t' \rightarrow E, \vec{\Delta} \rightarrow \vec{d}) e^{-\Sigma_t(t)} |\vec{r}_i - \vec{r}|}{|\vec{r}_i - \vec{r}|^2} \cdot \frac{w_i}{\Delta E + M}$$

Bei sehr kleinen Detektoren bietet dieser Estimator die einzige Möglichkeit, zu Ergebnissen zu gelangen, er ist jedoch sehr langsam.

In dem von der OECD bereitgestellten MORSE-CG Paket waren zwei Estimatoen zur Wahl enthalten. Ein "boundary crossing estimator" wurde implementiert, der für konzentrische Kugelschalen die Fluenze kalkulierte. *) Im Zentrum der Kugel befand sich eine punktförmige isotrope Quelle. Die Detektorflächen entsprachen den Oberflächen der Kugel. Zur Auswahl stand darüberhinaus ein "next event estimator" mit isotroper Quelle.

Ein "boundary crossing estimator" für den Gebrauch in "slab"-Geometrien wurde geschrieben. In diesem Zusammenhang mußten auch die Routinen SDATA und SOURCE der neuen Geometrie angepaßt werden.

Es können jetzt sowohl punktförmige als auch flächenhafte Quellen mit isotroper oder monodirektonaler Verteilung angewendet werden.

5. Organisation des Programmsystems MORSE am DESY

Entsprechend der modularen Form von MORSE-CG enthält jede "source-library" ein Modul. Folgende Module sind in den einzelnen Bibliotheken enthalten:

*) Tatsächlich angegeben wurde die Größe Fluenz x Kugelfläche.
Dies ist die Anzahl der Teilchen, die aus der Kugel herausstreten.

DO3LAN.MOCG3.S	- user written-routines
DO3LAN.MOCG4.S	- random - walk
DO3LAN.MOCG5.S	- cross - section
DO3LAN.MOCG6.S	- combinational geometry
DO3LAN.MOCG7.S	- analysis, assembler routines, functions

Zu diesen Quelldaten existieren die entsprechenden "load-Libraries" DO3LAN.MOCG3.L bis DO3LAN.MOCG7.L, von denen MORSE die benötigten Routinen abruft.

Der Datei MOCG3.S kommt besondere Bedeutung zu. Sämtliche für den Start und die Steuerung des Programmsystems notwendigen Routinen, -dies sind die user-written-routines, die JCL und die Eingabedatensätze für MORSE-, sind in ihr enthalten.

Die JCL zur Steuerung des Programmablaufs befindet sich im "member" #MORSEC.G. (Abb. 1)

MAIN, in dem Steuersatz mit einem %MACRO-Befehl gerufen, enthält alle "user-written-routines", sowie sämtliche BLOCK-DATA und ist die Einstiegsroutine für das Programm.

Mit dem zweiten %MACRO-Befehl werden die Eingabedaten zur Berechnung des gestellten Problems eingelesen.

Auf der "Unit 8" werden die Wirkungsquerschnitte bereitgehalten, die sich in unformatierter (binärer) Form auf der Datei DO3DIN.FEWG1.XSEC befinden.

Die Datei wurde von dem Programm LIBGEN aus formalisierten Wirkungsquerschnitten erzeugt. Die für einen "run" benötigten Wirkungsquerschnitte findet MORSE anhand spezieller Identifizierungsnummern, die im Eingabedatensatz angegeben werden.

Die "Unit 16" muß bereitgehalten werden, damit MORSE diese vorübergehend als Speicher für die Daten der "combinatorial geometry" Routinen nutzen kann.

Es empfiehlt sich für die Eingabedatensätze von MORSE, Kartensätze vorzubereiten, die blockweise aus dem Eingabesatz herausgenommen

```
DO3LAN.MOCG3.S (MORSECG)
DATE: 19/07/85 TIME: 10:40:03

//> 31/07/84 507191033 MEMBER NAME: #MORSECG (S) JCL      00000000
//DO3LAN JOB 10000400,CLASS=A,TIME=(1,00),MSGLEVEL=(2,0) 00000100
//>MAIN ORG=EXT,RELPRI=RED,LINES=(2) 00000200
//STEP EXEC FORTCLG,LLB1='DO3LAN.MOCG3.L', 00000300
//          LLB2='DO3LAN.MOCG4.L', 00000400
//          LLB3='DO3LAN.MOCG5.L', 00000500
//          LLB4='DO3LAN.MOCG6.L', 00000600
//          LLB5='DO3LAN.MOCG7.L' 00000700
//C SYSIN DD *
XMACRO MAIN 00000800
//G FT08P001 DD DTSP=SHR,DSN=DO3DIN.FEWG1 XSEC 00001000
//G FT16P001 DD DSN=DO3LAN.CG.DATA,DISP=SHR 00001100
//G SYSIN DD * 00001200
XMACRO WFE/SL3 00001300
```

Abb. 1

und durch andere Kartenstapel ersetzt werden können. Dies ist sicher sinnvoll für die verschiedenen Quellspektren (14 MeV, Fission etc.) der Teilchen oder auch für die "combinatorial geometry"-Eingabe.

Vorteilhaft ist die Vorbereitung solcher Blöcke auch für die diversen "response"-funktionen.

Diese Funktionen befinden sich auf der Datei DO3LAN.LIB in formalierter Form im "member" LIBRARY und können leider nicht wie die Wirkungsquerschnitte durch Identifizierungsnummern eingelesen werden.

Auf der Datei MOCG3.S finden sich einige vorbereitete Eingabesätze zu speziellen Problemen, die durch MORSE kalkuliert werden sollen.

Die Erstellung eines neuen Datensatzes macht jedoch wenig Schwierigkeiten.

Sollten dennoch Probleme entstehen, so findet man Hilfe und eine Erklärung der Eingabeveriablen im "member" HELPSCRE. (Am Bildschirm zu lesen.).

Will man eine Version haben, bei der Eingabekarten und Erklärung gegenübergestellt sind, so muß man sich das "member" HELPPRIN ausdrucken lassen.

6. Wirkungsquerschnitte

Für die MORSE Kalkulationen wurden bisher Wirkungsquerschnitte von der DLC-31(DPL-1/FEWG)-Bibliothek verwendet. Diese werden durch das RSIC, Radiation Shielding Information Center am Oak Ridge National Laboratory verteilt.

Die Vielfachgruppen-Bibliothek besteht aus 37 Neutronen- und 21 γ -Strahlungsenergiegruppen, bei einer maximalen Neutronenergie von 20 MeV und der Begrenzung der Photonenwirkungsquerschnitte auf 14 MeV (siehe auch 3c). Die Bibliothek ist damit recht grob strukturiert.

Am DESY befinden sich die Wirkungsquerschnitte in unformatierter Form auf der Datei DO3DIN.FEWG1.XSEC.

Eine Übersicht der auf dieser Datei enthaltenen Wirkungsquerschnitte liefert die Tabelle 1.

Berechnung der Atomdichte RHO

In MORSE werden die Wirkungsquerschnitte in Form totaler Wirkungsquerschnitte verarbeitet.

$$\Sigma = \sigma \cdot \rho \cdot \frac{N_L}{A} = \sigma \cdot RHO$$

σ erhält man aus den Daten FEWCI.XSEC.

Da diese in Einheiten von barn angegeben sind (10^{-24} cm^2) muß RHO in Einheiten von 10^{24} cm^{-3} eingegeben werden.

Man unterscheidet drei Fälle:

a) für ein reines Element ergibt sich die "Atomic density" RHO zu:

$$RHO = \rho \cdot \frac{N_L}{A}$$

mit ρ = Dichte

N_L = Loschmidt'sche Zahl

A = Atommasse

b) Für eine Verbindung mit den Elementen A und B ergeben sich die "Atomic densities" zu:

$$RHO_A = \rho_V \cdot P_A \cdot \frac{N_L}{M}$$

$$RHO_B = \rho_V \cdot P_B \cdot \frac{N_L}{M}$$

mit $P_A + P_B = 1$

ρ_V = Dichte der Verbindung

P_A = prozentualer Anteil von Element A am Molekül

P_B = analog P_A

M = Molekülmasse

c) Für ein Gemisch mit den Elementen A und B erhält man die Atomdichte der Elemente zu:

$$RHO_A = \rho_{\text{gem}} \cdot P_A \cdot \frac{N_L}{A_A}$$

$$RHO_B = \rho_{\text{gem}} \cdot P_B \cdot \frac{N_L}{A_B}$$

mit ρ_{gem} = Dichte des Gemisches

P_A = prozentualer Gewichtsanteil von A am Gemisch

P_B = analog für B

A_A = Atommasse von Element A

A_B = Atommasse von Element B.

Tabelle 1

Liste der auf Band befindlichen Wirkungsquerschnitte mit Element-identifizierungsnummer, Namen und Atomdichte des betreffenden Elements.

ELEMENT-ID.	NAME	DENSITY (UNITS: 10**24 cm***-3)
1	H-1	2.685 E-05 (H2)
6	H-3	
10	Li-6	4.6344 E-02
14	Li-7	
18	Be-9	1.2363 E-01
22	B-10	1.3026 E-01
26	B-11	
30	C-12	1.121 E-01
34	N	2.688 E-05 (N2)
38	N	
42	O	2.6895 E-05 (O2)
46	O	
50	F	5.3769 E-05
54	Na	2.5437 E-02
58	Mg	4.3092 E-02
62	Al	6.027 E-02
66	Si	5.146 E-02
70	Cl	2.7297 E-05 (Cl2)
74	K	1.3247 E-02
78	Ca	2.3293 E-02
82	Cr	7.0455 E-02
86	Mn	8.2221 E-02
90	Fe	8.0029 E-02
94	Ni	8.476 E-02
98	Cu	9.1304 E-02
102	Mo	8.465 E-02
106	Ta181	6.400 E-02
110	W182	5.5254 E-02
114	W183	6.3126 E-02
118	W184	
122	W185	
126	W186	
130	Pb	3.285 E-02
134	U-235	4.731 E-02
138	U-238	
142	Pu-239	4.903 E-02
146	Pu-240	
150	Ar	2.690 E-05
154	Ti	5.6835 E-02
158	Gd	3.013 E-02
162	P-31	3.5389 E-02
166	S-32	3.8693 E-02
170	Ba	1.5347 E-02
(* 3.6815 E-02)		
* Rhombisch (Monoklin)		

Tabelle 2

Zusammensetzung der Atomdichten der Elemente eines Betongemisches am DESY, mit Identifizierungsnummer der Elemente auf der Datei FEWG1.XSEC und der prozentualen Zusammensetzung des Betons.

Element	Zusammensetzung	ID.	Atomdichte (Units: 10**24 cm***-3)
O	0.53	42-45	4.788 E -2
Si	0.34	66-69	1.749 E -2
Ca	0.04	78-81	1.443 E -3
Al	0.03	62-65	1.602 E -3
Fe	0.02	94-97	5.176 E -4
Na	0.02	54-57	1.257 E -3
C	0.01	30-33	1.203 E -3
H	0.01	2 -5	1.434 E -2
Mg	0.01	58-61	5.947 E -4
K	0.01	74-77	1.325 E -4

7. Literatur

- CCC.203 RSIC Computer Code Collection MORSE-CG
General Purpose Monte-Carlo Multigroup
Neutron and Gamma-ray Transport Code with
Combinatorial Geometry, Oak Ridge National Laboratory
(1975)
- Cer.84 A. Fasso, K. Goebel, M. Höfert, G. Rau, H. Schönbacher,
G.R. Stevenson, A.H. Sullivan, W.P. Swanson and
J.W.N. Tuyn, Radiation problems in the design of the
large electron-positron collider (LEP) CERN TIS-RP/02
(1984)
- Din.84 H. Dinter, Private Mitteilungen (1984)
- Emm.75 M.B. Emmett, The MORSE Monte Carlo Radiation Transport
Code System, Oak Ridge National Laboratory,
Report ORNL-4972 (1975)
- Eng.67 W.W. Engle, Jr., A Users Manual for ANISN;
Oak Ridge National Laboratory, Report K-1693 (1967)
- Gab.80 T.A. Gabriel, The Methods and Applications of
Monte Carlo in low energy (<20 MeV) neutron-
photon transport (MORSE), Lectures 4 and 6 in
Computer techniques in radiation transport and
dosimetry, eds. W.R. Nelson and T.M. Jenkins
(Plenum Press, New York and London, 1980)
- Irv.70 D.C. Irving and G.W. Morrison, PICTURE: An aid in
debugging geometry input data, Oak Ridge National
Laboratory, Report ORNL-TM-2892 (1970)
- Isp.82 Ispra Course 1982, Monte Carlo Methods and their
Application to Radiation Shielding
- Jaa.73 R. Jaarsma and H. Rief, TIMOC 72 Code Manual,
Report EUR 5016e (Joint Nuclear Research Center,
Ispra, 1973)
- Prof.79 A.E. Profio, Radiation Shielding and Dosimetry
(J. WILEY&Sons, New York/Chichester/Brisbane/Toronto)
(1979)

Str.70 E.A. Straker, P.N. Stevens, D.C. Irving and V.R. Cain,
The MORSE-code - A multigroup neutron and gamma-ray
Monte Carlo transport code, Oak Ridge National
Laboratory, Report ORNL-4585 (1970)

8. Anhang

8.1 Programmliste MAIN

Das member MAIN enthält die Start- und die "user-written routines". Für eine eingehende Beschreibung der Routinen steht die RSIC Computer Code Collection (CCC 203) zur Verfügung. Es werden hier nur einige allgemeine Punkte erwähnt.

- 1)-> Diese Größen müssen erhöht werden, wenn eine größere Anzahl von Quellteilchen gewünscht wird und es zu einer Fehlermeldung kommt, weil der Speicherplatz hierfür nicht ausreicht.


```

140 GO TO [1,2,3,4,5,6,7,8,9,10,11,12,13],NBNK          00008200
C NBNKID COLL TYPE BANKR CALL NBNKID COLL TYPE BANKR CALL 00008300
C   1 SOURCE YES [MSOUR]    2 SPLIT NO [TESTW]00008400
C   3 FISSION YES [FPROB]   4 GAMGEN YES [GSTORE]00008500
C   5 REAL COLL YES [MORSE] 6 ALBEDO YES [MORSE]00008600
C   7 BDORYX YES [NXTCOL]  8 ESCAPE YES [NXTCOL]00008700
C   9 E-CUT NO [MORSE]     10 TIME KILL NO [MORSE]00008800
C  11 R R KILL NO [TESTW] 12 R R SURV NO [TESTW]00008900
C  13 GAMLOST NO [GSTORE]                         00009000
1 CALL SDATA
RETURN
2 RETURN
3 RETURN
4 RETURN
5 RETURN
6 RETURN
7 CALL BDORYX
RETURN
8 RETURN
9 RETURN
10 RETURN
11 RETURN
12 RETURN
13 RETURN
END

C ****
C SUBROUTINE BDORYX
C FOR USE IN SLAB GEOMETRY ONLY; SLABS IN X-Y-DIRECTION
C IDENTIFIES DETECTOR POSITION WITH A BOUNDARY CROSSING AND THEN
C CALCULATES AND SUMS QUANTITIES OF INTEREST FOR EACH BATCH.
C
COMMON /USER/ AGSTRT,WTSTRT,XSTRT,YSTRT,ZSTRT,DFF,EBOTN,EBOTG,
1 TCUT,I0,I1,IADJM,NGPQT1,NGPQT2,NGPQT3,NGPQTG,NGPQTN,NITS,NLAST,
2 NLEFT,NMGP,NMTG,NSTRT
COMMON /PDET/ ND,NNE,NE,NT,NA,NRESP,NEX,NEXND,NEND,NDNR,NTNR,NTNE,
1 NANE,NTNDR,NTNEND,NANEND,LOCRSP,LOCXD,LOCIB,LOCDO,LOCCT,LOCUD,
2 LOCSD,LOCQE,LOCQT,LOCQTE,LOCQAE,LMAX,EFIRST,EGTOP
COMMON /NUTRON/ NAME,NAMEX,IG,IGO,NMED,MEDOLD,NREG,U,V,W,UOLD,VOLD000012300
1 ,WOLD,X,Y,Z,XOLD,YOLD,ZOLD,WATE,OLDWT,WTBC,BLZNT,BLZON,AGE,OLDAGE00012400
COMMON/SLAB/XDL,XDU,YDL,YDU,XSL,XSU,YSL,YSU,ZSOUR,IPOINT,IBEAM
COMMON/BCC(1)
DIMENSION NC(1)
EQUIVALENCE (BCC(1),NC(1))

C
ZDL=0.99*Z
ZDU=1.01*Z
IA = LOCXD + 2*ND
DO S I=1,ND
IA=IA+1
ZS=BCC(I)
IF (ZS.GE.ZDL.AND.ZS.LE.ZDU) GO TO 15
CONTINUE
RETURN
15 IF ((X.GE.XDL.AND.X.LE.XDU).AND.(Y.GE.YDL.AND.Y.LE.YDU)) GO TO 20
RETURN
20 CONTINUE
COS = W
IF (COS.LE.0.) RETURN
IF (COS) 30,25,30
25 WRITE (I0,1000)
1000 FORMAT(1H0,14H COS=0.,RETURN)
RETURN
30 ABCOS=ABS (COS)
IF (ABCOS-1.0001) 40,40,35
35 WRITE (I0,1010) ABCOS
1010 FORMAT(1H0,'ABCOS.GT.1. = 'E10.4)
CALL ERROR
40 IF (ABCOS-0.01) 45,50,50
45 ABCOS = 0.005
50 CON=WATE/ABCOS
CALL FLUXST(I,IG,CON,AGE,COS,0)
C * * SWITCH = 0 -- STORE IN ALL RELEVANT ARRAYS EXCEPT UD
INN = LOCXD + 6*ND + I
C ** THIS STORE IS IN THE FIRST OF THE NEXND ARRAYS SET ASIDE BY SCORIN00016100
NC(INN) = NC(INN) + 1
RETURN
END

C ****
C

```

- 2) Sämtliche BLOCK DATA aus MORSE sind in MAIN zusammengefaßt.
Neu hinzugekommen ist das BLOCK DATA mit den Eingabe-
Parametern für die "Slab"-Geometrie.
Die Eingabe ist aus dem Text ersichtlich.

2) BLOCK DATA
COMMON /BNKNMC/BNKNME(72)
DATA BNKNME/
2 4HNCOL,4HL , 4HNAME,4H , 4HIG , 4H , 4HU , 4H .
3 4HU , 4H . 4HW , 4H . 4HX , 4H . 4HY , 4H .
4 4HZ , 4H . 4HWATE,4H . 4HIGO , 4H . 4HUOLD,4H .
5 4HUOLD,4H . 4HWOLD,4H . 4HXOLD,4H . 4HYOLD,4H .
6 4HZOLD,4H . 4HOLDW,4HT . 4HWTBC,4H . 4HETAU,4HSD .
7 4HETA , 4H . 4HAGE , 4H . 4HOLDA,4HGE . 4HNREG,4H .
8 4HNMED,4H . 4HNAME,4HX . 4HWATE,4HF . 4HBLZN,4HT .
9 4HBLZO,4HN . 4HUEL(4HIG) . 4HUEL(4HIGO) . 4HTSIG,4H .
A 4HPNAB,4H . 4HNXTR,4HA1 . 4HEXTR,4HA1 . 4HEXTR,4HA2 .
END

BLOCK DATA
REAL*8 XMONTH,WEKE,DAY
COMMON /DATDAT/ XMONTH(11),WEKE(6),DAY(1),IMONTH(12),NMONTH(12),
1 IWEKE(8),IWEEK(8)
DATA XMONTH/8JANUARY,8FEBRUARY,8MARCH,8APRIL,8MAY JUNE/0001 8800
1 ,8JULY,AUGU,8SEPT,8EMBER,8OCTOBER,8NOVEMBER,0001 8900
2 8DECEMBER/,WEKE/ZC8E4C8SFE2E40S40,8MON TUES,8MIDNES,0001 9000
3 8THURS ,8FRI ,8HSATUR /,DAY/8HDAY,19 /,IMONTH/0,8,16,0001 9100
4 24,32,36,40,44,52,64,72,80/, NMONTH/7,8,5,5,3,4,4,6,9,7,8,8/,0001 9200
SIWEKE/0,4,8,12,16,24,32,40/, IWEEK/4,3,3,4,6,5,3,5/0001 9300
END

BLOCK DATA
IMPLICIT REAL*8 (A-H,O-Z)
COMMON /PAREM/ XB(16),IXB(12)
DATA XB/16*1.999D+10/
END

BLOCK DATA
DATA ENTRIES FOR SLAB GEOMETRY
POINT: PENTER
DETECTORS IN X-Y-PLANE. DIMENSIONS: XDL, XDU, YDL, YDU
SOURCE [IF AREA] IN X-Y-PLANE DIMS: XSL, XSU, YSL, YSU
Z-POSITION: ZSOUR
IPOINT = 0, SWITCH TO AREA SOURCE, DIMENSIONS IN DATA
= 1, SWITCH TO POINT SOURCE XSTR, YSTR, ZSTR IN CARD D
IBEAM = 0, SWITCH TO ISOTROPIC DISTRIBUTION OF ALL STARTING
PARTICLES
= 1, SWITCH TO MONODIRECTIONAL STARTING CONDITIONS WITH
UINP, VINP, WINP OF CARD D
COMMON /SLAB/XDL,XDU,YDL,YDU,XSL,XSU,YSL,YSU,ZSOUR,IPOINT,IBEAM
DATA XDL,YDL/2*1.0/,XDU,YDU/2*5.0/
DATA XSL,YSL/2*0.0/,XSU,YSU/2*6.0/,ZSOUR/0.0/
DATA IPOINT/0/,IBEAM/1/
END

SUBROUTINE SDATA 00023100
SUBROUTINE SDATA CALCULATES UNCOLLIDED QUANTITIES OF INTEREST AT 00023300
 EACH DETECTOR POSITION FOR EACH BATCH. 00023400
00023500
THIS VERSION IS ONLY FOR SLAB GEOMETRY: 00023600
 ALL SLABS HAVE THE SAME MEDIUM 00023700
00023800
COMMON /PDET/ ND, NNE, NE, NT, NA, NRESP, NEX, NEXND, NEND, NDNR, NTN, NTNE, 00023900
1 NAME, NTNDR, NTNEND, NANEND, LOCSP, LOCXD, LOCIB, LOCCO, LOCT, LOCUD, 00024000
2 LOCSD, LOCQE, LOCQT, LOCQTE, LOCQAE, LMAX, EFIRST, EGTOP 00024100
COMMON /USER/ AGSTR, WTSTR, XSTR, YSTR, ZSTR, OFF, EBOTN, EBOTG, 00024200
1 TCUT, I0, I1, IADJM, NGPQT1, NGPQT2, NGPQT3, NGPQTG, NGPQTN, NITS, NLAST, 00024300
2 NLEFT, NMGP, NMTG, NSTRT 00024400
COMMON /NUTRON/ NAME, NAMEX, IG, IGO, NMED, MEDOLD, NREG, U, V, W, UOLD, VOLD 00024500
1 , WOLD, X, Y, Z, XOLD, YOLD, ZOLD, WATE, OLDWT, WTBC, BLZNT, BLZON, AGE, OLDAGE 00024600
COMMON BCC1 00024700
COMMON/SLAB/XDL, XDU, YDL, YDU, XSL, XSU, YSL, YSU, ZSOUR, IPOINT, IBEM 00024800
IA=LOCXD+2*ND 00024900
DO 100 I=1,ND 00025000
IA=IA+1 00025100
ZS=BCC(IA) 00025200
ZSD=ZS-ZSOUR 00025300
XS=ZSD*U/W+X 00025400
YS=ZSD*V/W+Y 00025500
IF ((XS.GE.XDL.AND.XS.LE.XDU).AND.(YS.GE.YDL.AND.YS.LE.YDU)) 00025600
1 GO TO 10 00025700
CON=0. 00025800
GO TO 80 00025900
10 SD=SQRT((XS-X)**2+(YS-Y)**2+ZSD**2) 00026000
IF (I.NE.1) GO TO 30 00026100
S1=SD 00026200
S2=0. 00026300
CALL NSIGTA(IG,1,TSIG1,PDUM) 00026400
GO TO 40 00026500
30 S2=SD-S1 00026600
CALL NSIGTA(IG,2,TSIG2,PDUM) 00026700
40 CON=WATE*EXP(-TSIG1*S1)*EXP(-TSIG2*S2) 00026800
80 CALL FLUXST(I,IG,CON,TA,W,-1) 00026900
C * SWITCH=-1 - STORE ARRAY UD ONLY 00027000
100 CONTINUE 00027100
RETURN 00027200
END 00027300
00027400
***** 00027500
***** 00027600

```

SUBROUTINE SOURCE( IG, U, U, W, X, Y, Z, WATE, MED, AG, ISOUR, ITSTR, NGPQT3,      00027700
1 DDF, ISBIAS, NMTG )          00027800
                                00027900
C IF ITSTR=0, MUST PROVIDE IG, X, Y, Z, U, V, W, WATE AND AG IF DESIRED TO BE00028000
C DIFFERENT FROM CARD VALUES (WHICH ARE THE VALUES INPUT TO SOURCE) 00028100
C IF ITSTR=1, IG IS THE GRP NO. CAUSING FISSION, MUST PROVIDE NEW IG 00028200
C THIS VERSION OF SOURCE SELECTS INITIAL GROUP FROM THE INPUT SPEC00028300
C                                         00028400
C COMMON /USER/ DUM(9), I0, I1, IDUM(12)          00028500
C COMMON/SLAB/XDL, XDU, YDL, YDU, XSL, XSU, YSL, YSU, ZSOUR, IPOINT, IBEAM    00028600
C COMMON WTS(1)                               00028700
C                                         00028800
C DATA ICALL/1/                         00028900
C IF (ICALL) 10,10,5                      00029000
5 ICALL = 0                           00029100
WRITE (I0,1000) IPOINT, IBEAM, ZSOUR      00029200
1000 FORMAT(' YOU ARE USING A SOURCE VERSION WHICH SETS WATE TO DDF AND00029300
10 PROVIDES AN ENERGY IG.'           00029400
2' IF IPOINT = 0, AN AREA SOURCE IS SELECTED.' 00029500
3'     = 1, A POINT SOURCE IS SELECTED.' 00029600
4' IF IBEAM = 0, ISOTROPIC PARTICLE DIRECTION IS SELECTED.' 00029700
5'     = 1, MONODIRECTIONAL PARTICLE DIRECTION IS SELECTED.' 00029800
6' SWITCHES ARE SET ON: IPOINT =',IS,'   IBEAM =',IS/ 00029900
7' POS. OF THE SOURCE: ZSOUR =',F10.1/] 00030000
IF (IPPOINT.EQ.0) WRITE(I0,1001) XSL,XSU,YSL,YSU,XDL,XDU,YDL,YOU 00030100
1001 FORMAT(' THE SOURCE AREA IS PERPENDICULAR TO THE Z-DIRECTION AND E00030200
1XTENDS FROM'           00030300
2' XSL =',F10.2,' TO XSU =',F10.2,' AND FROM' 00030400
3' YSL =',F10.2,' TO YSU =',F10.2/ 00030500
4'           ' 00030600
5' ALL DETECTOR AREAS HAVE THE SAME VALUE. THEY EXTEND FROM' 00030700
6' XDL =',F10.2,' TO XDU =',F10.2,' AND FROM' 00030800
7' YDL =',F10.2,' TO YDU =',F10.2/] 00030900
IF (IPPOINT.EQ.1) GO TO 10
DXS=XSU-XSL                         00031000
DYS=YSU-YSL                         00031100
10 IF( ISOUR)15,15,60                  00031200
15 WATE=DDF                          00031300
16 IF (ISBIAS) 20,20,25              00031400
20 NWT = 2*NMTG                      00031500
GO TO 30
25 NWT = 3*NMTG                      00031600
30 R = FLTRNF(R)                     00031700
DO 35 I=1,NGPQT3                   00031800
IF (R - WTS(I+NWT)) 40,40,35       00031900
35 CONTINUE
40 IG=I                            00032000
IF (ISBIAS) 60,60,45                00032100
45 IF (I-1) 60,50,55                00032200
50 WATE = WATE*WTS(2*NMTG+1)/WTS(3*NMTG+1) 00032300
GO TO 60
55 WATE = WATE*(WTS(2*NMTG+I)-WTS(2*NMTG+I-1))/(WTS(3*NMTG+I)-WTS(3*N00032400
1MTG+I-1]) 00032500
60 CONTINUE
IF (IPPOINT.EQ.1) GO TO 70
R=FLTRNF(R)                       00032600
DX=R*DYS                          00032700
R=FLTRNF(R)                       00032800
DY=R*DYS                          00032900
X=DX+XSL                          00033000
Y=DY+YSL                          00033100
70 IF (IBEAM.EQ.1) GO TO 80
71 CALL POLRN(STH,CTH)             00033200
W=CTH
IF (W.LT.0.01) GO TO 71
CALL AZIRN(SFI,CFI)               00033300
U=CFI*STH                         00033400
U=SFI*STH                         00033500
SUM=U*U+V*V+W*W
ASUM=ABS(SUM-1.)
IF(ASUM.LE.0.01) GO TO 80
WRITE(I0,1002)
1002 FORMAT(' ERROR: START.PART.: SUMCOSSQ > 1') 00033600
GO TO 71
80 RETURN
END

```

8.2 Liste der Eingabedaten

Beim folgenden Ausdruck sind die Eingabedaten und ihre Erklärung gegenübergestellt. Bei dem verwendeten Datensatz handelt es sich um den Testsatz, der dem MORSE-Programm beigefügt war.

**** USE 'HELP' ONLY IN ITS PRINTED VERSION ****

***** THIS INPUT IS READ BY SUBROUTINE 'INPUT'

***** RANDOM WALK INPUT INSTRUCTIONS *****

***** CARD A (20A4)
MORSE SAMPLE PROBLEM POINT FISSION SOURCE IN AIR

TITLE CARD
CARD A (ANY CHARACTER OTHER THAN A BLANK OR ALPHAMERIC IN
COLUMN ONE WILL TERMINATE THE JOB.)

***** CARD B (10IS,FS,0,2IS)
200 400 10 1 37 0 37 37 0 0 S 1 0
NQUIT NMGP NMTG MAXIM MEDIA
NITS NGPQTG IADJM
NMOST NGPQTN NCOLTP MEDALB

CARD B NMOST
NSTRT - NUMBER OF PARTICLES PER BATCH
- MAXIMUM NUMBER OF PARTICLES ALLOWED FOR IN
THE BANK(S); MAY EQUAL 'NSTRT' IF NO
SPLITTING, FISSION, AND SECONDARY
GENERATION.
NMTG - TOTAL NUMBER OF GROUPS FOR WHICH CROSS-
SECTIONS ARE STORED; SHOULD BE SAME AS
'NGP' (OR THE SAME AS 'NGG' WHEN 'NGP'=0)
ON CARD XB READ BY SUBROUTINE 'XSEC'.
NCOLTP - SET GREATER THAN ZERO IF A COLLISION TAPE
IS DESIRED; THE COLLISION TAPE IS WRITTEN
BY THE USER ROUTINE 'BANKR'.
IADJM - SET GREATER THAN ZERO FOR AN ADJOINT PROBLEM
MAXIM - MAXIMUM CLOCK TIME IN MINUTES ALLOWED FOR
THE PROBLEM TO BE ON THE COMPUTER; E.G.,
4.S ENTERED HERE ALLOWS 4 AND 1/2 MINUTES.
MEDIA - NUMBER OF CROSS-SECTION MEDIA; SHOULD AGREE
WITH 'NMED' ON CARD XB READ BY SUBROUTINE
'XSEC'.
MEDALB - ALBEDO SCATTERING MEDIUM IS ABSOLUTE VALUE
OF 'MEDALB';
IF MEDALB = 0, NO ALBEDO INFORMATION TO BE
READ IN,
MEDALB < 0, ALBEDO ONLY PROBLEM - NO
CROSS-SECTIONS ARE TO READ
MEDALB > 0, COUPLED ALBEDO AND TRANSPORT
PROBLEM

***** CARD C (4IS,SE10.5)

0	14	0	01.0	0.0	0.0	1.0	2.2	+5	CARD C	ISOUR	- SOURCE ENERGY GROUP IF > 0, IF 'ISOUR' < 0 OR IF 'ISOUR' = 0 AND 'NGPFS' NE 0, 'SORIN' IS CALLED FOR INPUT OF CARDS E1 AND E2.
			ISBIAS	EBOTN			VELTH			NGPFS	- NUMBER OF GROUPS FOR WHICH THE SOURCE SPECTRUM IS TO BE DEFINED. IF 'ISOUR' < 0, 'NGPFS' GE 2.
		NGPFS	WTSTRT			TCUT				ISBIAS	- NO SOURCE ENERGY BIASING IF SET EQUAL TO ZERO, OTHERWISE THE SOURCE ENERGY IS TO BE BIASED, AND CARDS E2 ARE REQUIRED.
		ISOUR	NOTUSD		EBOTG					NOTUSD	- AN UNUSED VARIABLE.
										WTSTRT	- WEIGHT ASSIGNED TO EACH SOURCE PARTICLE.
										EBOTN	- LOWER ENERGY LIMIT OF LOWEST NEUTRON GROUP (EV) (GROUP NMGP).
										EBOTG	- LOWER ENERGY LIMIT OF LOWEST GAMMA-RAY GROUP (EV) (GROUP NMTG).
										TCUT	- AGE IN SEC. AT WHICH PARTICLES ARE RETIRED, IF 'TCUT' = 0, NO TIME KILL IS PERFORMED.
										VELTH	- VELOCITY OF GROUP 'NMGP' WHEN 'NGPQTN' > 0, I.E., THERMAL-NEUTRON VELOCITY (CM/SEC).

***** CARD D (7E10.4)

0.0	0.0	0.0	0.0	0.0	0.0	0.0	0.0	CARD D	XSTRT	XSTRT	- COORDINATES FOR SOURCE PARTICLES
		YSTRT	ZSTRT	AGSTRT	UINP	VINP	WINP		YSTRT	" " " "	
									ZSTRT	" " " "	
									AGSTRT	- STARTING AGE FOR SOURCE PARTICLES	
									UINP	- SOURCE PARTICLE DIRECTION COSINES	
									VINP	- IF ALL ARE ZERO, ISOTROPIC DIRECTIONS	
									WINP	- ARE CHOSEN.	
											SOURCE DATA ON CARDS C AND D WILL BE OVERRIDDEN BY ANY CHANGES IN SUBROUTINE SOURCE.

***** CARDS E1 (7E10.4)

1.5579 -4 8.9338 -4 3.4786 -3 1.3903 -2 3.4557 -2 3.5047 -2 1.0724 -1 CARDS E (OMIT IF 'ISOUR' ON CARD C > 0 OR IF 'ISOUR' = 8.8963 -2 2.3186 -2 1.2030 -1 2.1803 -1 1.9837 -1 1.4036 -1 1.5489 -2 CARDS E 'NGPFS' VALUES OF 'FS', WHERE 'FS' EQUALS THE UNNORMALIZED FRACTION OF SOURCE PARTICLES IN EACH GROUP)

***** CARDS E2 (7E10.4)

(OMIT IF 'ISOUR' > 0 OR IF 'ISOUR' LE 0 AND 'ISBIAS' = 0). IF 'ISBIAS' > 0, 'NGPFS' VALUES OF 'BFS', THE RELATIVE IMPORTANCE OF A SOURCE IN GROUP I, ARE REQUIRED.

***** CARDS F (7E10.4)

1.97	+7 1.69	+7 1.49	+7 1.42	+7 1.38	+7 1.28	+7 1.22	+7	CARDS F	'NMTG' VALUES OF 'ENER', THE ENERGIES (IN EV) AT THE
1.11	+7 1.00	+7 9.05	+6 8.19	+6 7.41	+6 6.38	+6 4.97	+6	CARDS F	UPPER EDGE OF THE ENERGY GROUP BOUNDARIES.
4.72	+6 4.07	+6 3.01	+6 2.39	+6 2.31	+6 1.83	+6 1.11	+6	CARDS F	NOTE: THE LOWER ENERGIES OF GROUP 'NMGP' AND 'NMTG'
5.50	+5 1.58	+5 1.11	+5 5.25	+4 2.48	+4 2.19	+4 1.03	+4	CARDS F	WERE READ ON CARD C.
3.35	+3 1.23	+3 5.83	+2 1.01	+2 2.90	+1 1.07	+1 3.06	+0	CARDS F	
1.13	+0 4.14	-1						CARDS F	

***** CARD G (2I5,5X,36I1,5X,13I1)

(OMIT IF 'NCOLTP' ON CARD B LE 0)
NHISTR - LOGICAL TAPE NUMBER FOR THE FIRST COLLISION TAPE.
NHISMX - THE HIGHEST LOGICAL NUMBER THAT A COLLISION TAPE MAY BE ASSIGNED.
NBIND(J), J=1,36 - AN INDEX TO INDICATE THE COLLISION PARAMETERS TO BE WRITTEN ON TAPE.
NCOLLS(J), J=1,13 - AN INDEX TO INDICATE THE TYPES OF COLLISIONS TO BE PUT ON TAPE.

***** CARD H (Z12)

00035FA731A
RANDOM

RANDOM - STARTING RANDOM NUMBER.

***** CARD I (7I5)

1	1	1	0	0	1	37
NKILL		NOLEAK		MXREG		
NSPLT	NPAST	IEBIAS		MAXGP		

CARD I NSPLT - INDEX INDICATING THAT SPLITTING IS ALLOWED IF > 0.
NKILL - INDEX INDICATING THAT RUSSIAN ROULETTE IS ALLOWED IF > 0.
NPAST - INDEX INDICATING THAT EXPONENTIAL TRANSFORM IS INVOKED IF > 0 (SUBROUTINE 'DIREC' REQUIRED).
NOLEAK - INDEX INDICATING THAT NON-LEAKAGE IS INVOKED IF > 0.
IEBIAS - INDEX INDICATING THAT ENERGY BIASING IS ALLOWED IF > 0.
MXREG - NUMBER OF REGIONS DESCRIBED BY GEOMETRY INPUT (WILL BE SET TO ONE IF LE 0).
MAXGP - GROUP NUMBER OF LAST GROUP FOR WHICH RUSSIAN ROULETTE, SPLITTING OR EXPONENTIAL TRANSFORM IS TO BE PERFORMED. FOR ADJOINT SET = 'NMIG' OR OVERSTORING RESULTS.

***** CARD J (6I5,4E10.5)

0	0	0	0	0	0	1.0	+01	1.0	-02	1.0	-01	5.0	PATH
NDG		NRG1		NRG2		WTLOW1							-1 CARDS J
NGP1	NGP2	NORG		WTHIH1				WTAVE1					

-1 END CARD FOR CARDS J

[OMIT IF 'NSPLT' + 'NKILL' + 'NPAST' = 0]
FROM ENERGY GROUP 'NGP1' TO ENERGY GROUP 'NGP2' INCLUSIVE, IN STEPS OF 'NDG' AND FROM REGION 'NRG1' TO 'NRG2', INCLUSIVE, IN STEPS OF 'NORG'. THE FOLLOWING WEIGHT STANDARDS AND PATHSTRETCHING PARAMETERS ARE ASSIGNED. IF 'NGP1' = 0, GROUPS 1 TO 'MAXGP' WILL BE USED IF 'NRG1' = 0, REGIONS 1 TO MXREG WILL BE USED (BOTH IN STEPS OF ONE). USUALLY 'NDG'=1 AND 'NORG'=1.
WTHIH1 - WEIGHT ABOVE WHICH SPLITTING WILL OCCUR.
WTLOW1 - WEIGHT BELOW WHICH RUSSIAN ROULETTE IS PLAYED.
WTAVE1 - WEIGHT GIVEN THOSE PARTICLES SURVIVING RUSSIAN ROULETTE.
PATH - PATH-LENGTH STRETCHING PARAMETERS FOR USE IN EXPONENTIAL TRANSFORM (USUALLY 0 LE 'PATH' LT 1).

THE ABOVE INFORMATION IS REPEATED UNTIL DATA FOR ALL GROUPS AND REGIONS ARE INPUT.
** END CARD J WITH NEGATIVE VALUE OF 'NGP1' (EX., -1 IN COLUMNS 4 AND 5) **

***** CARDS K (7E10.4)

(OMIT IF 'IEBIAS' ON CARD I LE 0).
((EPROB(IG,NREG), IG = 1, NMTG), NREG = 1, MXREG)
VALUES OF THE RELATIVE ENERGIE IMPORTANCE OF
PARTICLES LEAVING A COLLISION IN REGION 'NREG'.
INPUT FOR EACH REGION MUST START ON A NEW CARD.

***** CARD L (4IS)
0 0 0 0
MFISTP NORMF
NSOUR NKCALC

CARD L NSOUR - SET LE 0 FOR A FIXED SOURCE PROBLEM,
OTHERWISE THE SOURCE IS FROM FISSIONS
GENERATED IN A PREVIOUS BATCH.
MFISTP - INDEX FOR FISSION PROBLEM, IF LE 0 NO
FISSIONS ARE ALLOWED.
NKCALC - THE NUMBER OF THE FIRST BATCH TO BE
INCLUDED IN THE ESTIMATE OF K; IF LE 0
NO ESTIMATE OF K IS MADE.
NORMF - THE WEIGHT STANDARDS AND FISSION WEIGHTS
ARE UNCHANGED IF LE 0; OTHERWISE FISSION
WEIGHTS WILL BE MULTIPLIED, AT THE END OF
EACH BATCH, BY THE LATEST ESTIMATE OF K AND
THE WEIGHT STANDARDS ARE MULTIPLIED BY THE
RATIO OF FISSION WEIGHTS PRODUCED IN
PREVIOUS BATCH TO THE AVERAGE STARTING
WEIGHT FOR THE PREVIOUS BATCH. FOR TIME-
DEPENDENT DECAYING SYSTEMS, 'NORMF' SHOULD
BE > 0.

***** CARDS M (7E10.4)

(OMIT IF 'MFISTP' ON CARD L LE 0).
((FWLO(I), I = 1, MXREG) VALUES OF THE WEIGHT TO BE
ASSIGNED TO FISSION NEUTRONS.

***** CARDS N (7E10.4)

(OMIT IF 'MFISTP' ON CARD L LE 0).
((FSE(IG,IMED), IG = 1, NMTG), IMED = 1, MEDIA) THE
FRACTION OF FISSION-INDUCED SOURCE PARTICLES IN GROUP
'IG' AND MEDIUM 'IMED'.
NOTE: INPUT FOR EACH MEDIUM MUST START ON A NEW CARD.

***** CARDS O (7E10.5)

(OMIT IF NGPQTN = 0 OR NGPQTG = 0, I.E., INCLUDE
IF COUPLED NEUTRON-GAMMA-RAY PROBLEM)
((GHLO(IG, NREG) IG = 1, NMGP OR NMTG - NMGP), NREG=1,
MXREG) - VALUES OF THE PROBABILITY OF GENERATING A
GAMMA RAY. 'NMGP' GROUPS ARE READ FOR EACH REGION IN
A FORWARD PROBLEM AND 'NMTG - NMGP' FOR AN ADJOINT.
INPUT FOR EACH REGION MUST START ON A NEW CARD.

***** COMBINATORIAL GEOMETRY INPUT INSTRUCTIONS *****

***** CARD CGA (215,10X,10A6)
 0 0 SAMPLE PROB. 1 FOR MORSE
 IVOPT IDBG JTY

THE COMBINATORIAL GEOMETRY INPUT DATA IS READ BY THE 'JOMIN' SUBROUTINE, EXCEPT FOR THE REGION VOLUMES 'VNOR(I)', WHICH ARE READ BY THE 'GTULIN' SUBROUTINE WHENEVER 'IVOPT' = 3. FOR CLARITY OF TERMINOLOGY, THE TERMS "REGIONS" AND "MEDIA" HAVE ESSENTIALLY THE SAME MEANING AS IN THE "OSR GEOMETRY PACKAGE", BUT ARE CONSTRUCTED IN A DIFFERENT MANNER. THE TERM "ZONE" IS THE SAME AS THE "REGION" AS DEFINED IN THE ORIGINAL COMBINATORIAL GEOMETRY PACKAGE. THE TERM "BODY" HAS THE SAME MEANING AS IN THE ORIGINAL COMBINATORIAL GEOMETRY PACKAGE.

- IVOPT - OPTION WHICH DEFINES THE METHOD BY WHICH REGION VOLUMES ARE DETERMINED; IF
 IVOPT = 0, VOLUMES SET EQUAL TO 1,
 IVOPT = 1, CONCENTRIC SPHERE VOLUMES ARE CALCULATED,
 IVOPT = 2, SLAB VOLUMES (1 - DIM.) ARE CALCULATED, (NOT OPERATIONAL)
 IVOPT = 3, VOLUMES ARE INPUT BY CARD.
- IDBG - IF IDBG > 0, SUBROUTINE 'PR' IS CALLED TO PRINT RESULTS OF COMBINATORIAL GEOMETRY CALCULATIONS DURING EXECUTION. USE ONLY FOR DEBUGGING.
- JTY - ALPHANUMERIC TITLE FOR GEOMETRY INPUT (COLUMNS 21 - 80)

***** CARDS CGB (2X,A3,IX,I4,6D10.3)
 SPH 0. 0. 0. 3.0E +3
 SPH 0. 0. 0. 5.0E +3
 SPH 0. 0. 0. 2.5E +3
 SPH 0. 0. 0. 1.0E +4
 SPH 0. 0. 0. 1.5E +4
 SPH 0. 0. 0. 2.0E +4
 SPH 0. 0. 0. 3.0E +4
 SPH 0. 0. 0. 6.0E +4
 SPH 0. 0. 0. 7.0E +4
 SPH 0. 0. 0. 9.0E +4
 SPH 0. 0. 0. 1.2E +5
 SPH 0. 0. 0. 1.5E +5
 SPH 0. 0. 0. 1.0E +6
 SPH 0. 0. 0. 1.0E +7
 END
 ITYPE IALP FPD(I) - - -

ONE SET OF 'CGB' CARDS IS REQUIRED FOR EACH BODY AND FOR THE "END"-CARD. LEAVE COLUMNS 1-6 BLANK ON ALL CONTINUATION CARDS.

- ITYPE - SPECIFIES BODY TYPE OR 'END' TO TERMINATE READING OF BODY DATA (FOR EXAMPLE 'BOX', RPP, ARB', ETC.). LEAVE BLANK FOR CONTINUATION CARDS.
- IALP - BODY NUMBER ASSIGNED BY USER (ALL INPUT BODY NUMBERS MUST FORM A SEQUENCE SET BEGINNING AT 1). IF LEFT BLANK, NUMBERS ARE ASSIGNED SEQUENTIALLY. EITHER ASSIGN ALL OR NONE OF THE NUMBERS. LEAVE BLANK FOR CONTINUATION CARDS.
- FPD(I) - REAL DATA REQUIRED FOR THE GIVEN BODY AS SHOWN IN TABLE 4.3 OF THE 'MORSE-CG' MANUAL. THIS DATA MUST BE IN CM.

***** CARDS CGC (2X,A3,15,9(A2,15))

AIR +1
AIR +2 -1
AIR +3 -2
AIR +4 -3
AIR +5 -4
AIR +6 -5
AIR +7 -6
AIR +8 -7
AIR +9 -8
AIR +10 -9
AIR +11 -10
AIR +12 -11
AIR +13 -12
AIR +14 -13
ENC

NAZ JTY(I)
IALP IIBIAS(I)

***** CARDS CGD (14IS)

1 1 1 1 1 1 1 1 1 1 1 1 1 1
MRIZ(I) - - - - - - - - - - - -

***** CARDS CGE (14IS)

1 2 1 2 1 2 1 2 1 2 1 2 1 0
MMIZ(I) - - - - - - - - - - - -

***** CARDS CGF (7D10.5)

INPUT ZONE SPECIFICATION CARDS. ONE SET OF CARDS REQUIRED FOR EACH INPUT ZONE, WITH INPUT ZONE NUMBERS BEING ASSIGNED SEQUENTIALLY.

IALP - 'IALP' MUST BE A NONBLANK FOR THE FIRST CARD OF EACH SET OF CARDS DEFINING AN INPUT ZONE. IF 'IALP' IS BLANK, THIS CARD IS TREATED AS A CONTINUATION OF THE PREVIOUS ZONE CARD. 'IALP - END' DENOTES THE END OF ZONE DESCRIPTION.

NAZ - TOTAL NUMBER OF ZONES THAT CAN BE ENTERED UPON LEAVING ANY OF THE BODIES DEFINED FOR THIS INPUT REGION (SOME ZONES MAY BE COUNTED MORE THAN ONCE). LEAVE BLANK FOR CONTINUATION CARDS FOR A GIVEN ZONE. (IF 'NAZ' LE 0 ON THE FIRST CARD OF THE ZONE CARD SET, THEN IT IS SET TO 5). THIS IS USED TO ALLOCATE BLANK COMMON.

ALTERNATE 'IIBIAS(I)' AND 'JTY(I)' FOR ALL BODIES DEFINING THIS INPUT ZONE.

IIBIAS(I) SPECIFY THE "OR" OPERATOR IF REQUIRED FOR THE 'JTY(I)'- BODY.

JTY(I) - BODY NUMBER WITH THE (+) OR (-) SIGN AS REQUIRED FOR THE ZONE DESCRIPTION.

MRIZ(I) - 'MRIZ(I)' IS THE REGION NUMBER IN WHICH THE "I-TH" INPUT ZONE IS CONTAINED (I = 1, TO THE NUMBER OF INPUT ZONES). REGION NUMBERS MUST BE SEQUENTIALLY DEFINED FROM 1.

MMIZ(I) - 'MMIZ(I)' IS THE MEDIUM NUMBER IN WHICH THE "I-TH" INPUT ZONE IS CONTAINED (I = 1, TO THE NUMBER OF INPUT ZONES). MEDIUM NUMBERS MUST BE SEQUENTIALLY DEFINED FROM 1.

***** SET LAST INPUT VALUE EQUAL TO ZERO; OTHERWISE PROGRAM STARTS TO FIND A CONTINUATION ZONE, AND CAUSES AN ERROR-MESSAGE BECAUSE ITS FAILURE.

(OMIT IF IOPT NOT 3)

UNRC(I) - VOLUME OF THE "I-TH" REGION (I = 1 TO 'MXREG', THE NUMBER OF REGIONS).

***** MORSEC - CROSS-SECTION MODULE INPUT INSTRUCTIONS *****

***** CARD XA (20A4)
37 GROUP FE/CU CROSS SECTIONS --- P3 --- DENSITY =

TITLE CARD FOR CROSS SECTIONS. THIS TITLE IS ALSO WRITTEN ON TAPE IF A PROCESSED TAPE IS WRITTEN; THEREFORE, IT IS SUGGESTED THAT THE TITLE BE DEFINITIVE.

***** CARD XB (13I5)

37	37	0	0	58	61	4	1	2	2	4	3	0
NGP	NDS	NDGS	ITBL	NMED	NELEM	NMIX	NCOEF	NSCT				
				ISGG								
					INGP							

- NGP - THE NUMBER OF PRIMARY GROUPS FOR WHICH THERE ARE CROSS SECTIONS TO BE STORED. SHOULD BE SAME AS 'NMGP' INPUT IN 'MORSE'.
- NOS - NUMBER OF PRIMARY DOWNSCATTERS FOR 'NGP' (USUALLY 'NGP').
- NGG - NUMBER OF SECONDARY GROUPS FOR WHICH THERE ARE CROSS SECTIONS TO BE STORED.
- NDSG - NUMBER OF SECONDARY DOWNSCATTERS FOR 'NGG' (USUALLY 'NGG').
- INGP - TOTAL NUMBER OF GROUPS FOR WHICH CROSS SECTIONS ARE TO BE INPUT.
- ITBL - TABLE LENGTH, I.E., THE NUMBER OF CROSS SECTIONS FOR EACH GROUP (USUALLY EQUAL TO NUMBER OF DOWNSCATTERS + NUMBER OF UPSCATTERS + 3).
- ISGG - LOCATION OF WITHIN-GROUP SCATTERING CROSS SECTIONS (USUALLY EQUAL TO NUMBER OF UPSCATTERS + 4).
- NMED - NUMBER OF MEDIA FOR WHICH CROSS SECTIONS ARE TO BE STORED; SHOULD BE SAME AS 'MEDIA' INPUT IN 'MORSE'.
- NELEM - NUMBER OF ELEMENTS FOR WHICH CROSS SECTIONS ARE TO BE READ.
- NMIX - NUMBER OF MIXING OPERATIONS (ELEMENTS TIMES DENSITY OPERATIONS) TO BE PERFORMED (MUST BE GE 1).
- NCOEF - NUMBER OF COEFFICIENTS FOR EACH ELEMENT, INCLUDING P-0.
- NSCT - NUMBER OF DISCRETE ANGLES (USUALLY NCOEF/2-INTEGRAL).
- ISTAT - FLAG TO STORE LEGENDRE COEFFICIENTS IF GREATER THAN ZERO.

***** CARD XC (11IS)

0	0	0	0	0	0	8	0	0	0
ISTR	IFMU	IMOM	IPRN	IPUN	IDTF	IXTAPE	JXTAPE	I06RT	IGQPT
IRDG									

IROSG * - SWITCH TO PRINT THE CROSS SECTIONS AS THEY
 ARE READ IF > 0 .
 ISTR * - SWITCH TO PRINT CROSS SECTIONS AS THEY ARE
 STORED IF > 0 .
 IFMU * - SWITCH TO PRINT INTERMEDIATE RESULTS OF MU'S
 CALCULATION IF > 0 .
 IMOM * - SWITCH TO PRINT MOMENTS OF ANGULAR
 DISTRIBUTION IF > 0 .
 IPRN * - SWITCH TO PRINT ANGLES AND PROBABILITIES
 IF > 0 .
 IPUN * - SWITCH TO PRINT RESULTS OF BAD LEGENDRE
 COEFFICIENTS IF > 0 .
 IDTF * - SWITCH TO SIGNAL THAT INPUT FORMAT IS
 'DTF-IU' FORMAT IF > 0 ; OTHERWISE, 'ANISN'
 FORMAT IS ASSUMED.
 IXTAPE - LOGICAL TAPE UNIT IF BINARY CROSS SECTION
 TAPE, SET EQUAL TO 0 IF CROSS SECTIONS ARE
 FROM CARDS. IF NEGATIVE, THEN THE PROCESSED
 CROSS SECTIONS AND OTHER NECESSARY DATA
 FROM A PREVIOUS RUN WILL BE READ; IN THIS
 CASE ('IXTAP' < 0) NO CROSS SECTIONS FROM
 CARDS AND NO MIXING CARDS MAY BE INPUT. THE
 ABSOLUTE VALUE OF 'IXTAP' IS THE LOGICAL
 TAPE UNIT.
 JXTAPE - LOGICAL TAPE UNIT OF A PROCESSED CROSS-
 SECTION TAPE TO BE WRITTEN. THIS PROCESSED
 TAPE WILL CONTAIN THE TITLE CARD, THE
 VARIABLES FROM COMMON 'LOCSIG' AND THE
 PERTINENT CROSS SECTIONS FROM BLANK COMMON.
 I06RT - LOGICAL TAPE UNIT OF A POINT CROSS-SECTION
 TAPE IN '06R'- FORMAT.
 IGQPT - LAST GROUP ('MORSE' MULTIGROUP STRUCTURE)
 FOR WHICH THE '06R'- POINT CROSS SECTIONS
 ARE TO BE USED (LE 'NMGP').
 * SWITCHES ARE IGNORED IF 'IXTAP' < 0 .

***** CARD XD (14IS)

34	35	36	37	42	43	44	45
----	----	----	----	----	----	----	----

[OMIT IF 'IXTAP' LE 0]
 ELEMENT IDENTIFIERS FOR CROSS-SECTION TAPE. IF ELEMENT
 IDENTIFIERS ARE IN SAME ORDER AS ELEMENTS ON TAPE, THE
 EFFICIENCY OF THE CODE IS INCREASED DUE TO FEWER
 TAPE REWINDS.

***** CARDS XE

[OMIT IF 'IXTAP' NOT 0]
 IF CROSS SECTIONS ARE IN FREE-FORM, A CARD WITH ** IN
 COLUMNS 2 AND 3 MUST PRECEDE THE ACTUAL DATA.
 'ANISN' FORMAT IF 'IDTF' LE 0; OTHERWISE, 'DTF-IU'-
 FORMAT. CROSS SECTIONS FOR 'INGP' GROUPS WITH A TABLE
 LENGTH 'ITBL' FOR 'NELEM' ELEMENTS EACH WITH 'NCOEF'
 COEFFICIENTS.

***** CARDS XF (21S,E10.S)

1 -1 6.627E-02
KM KE RHO

[OMIT IF 'IXTAP' < 0]

'NMIX'(SEE CARD XB) CARDS ARE REQUIRED.

KM - MEDIUM NUMBER.

KE - ELEMENT NUMBER OCCURRING IN MEDIUM 'KM'
(NEGATIVE VALUE INDICATES LAST MIXING
OPERATION FOR THAT MEDIUM). FAILURE TO HAVE
A NEGATIVE VALUE CAUSES CODE NOT TO GENERATE
ANGULAR PROBABILITIES FOR THAT MEDIA
('LEGEND' AND 'ANGLE' NOT CALLED).

RHO - DENSITY OF ELEMENT 'KE' IN MEDIUM 'KM'.

***** IF YOU USE THE CROSS-SECTION SET STORED ON
***** UNIT 8, DENSITY OF ELEMENT 'KE' MEANS THE
***** ATOMIC DENSITY OF ELEMENT 'KE'. READ UNITS
***** OF ATOMIC DENSITIES IN (10**24 N/CM**3)

***** CARDS XG (15)

[OMIT IF 'IO6RT' LE 0]

NXPM - NUMBER OF POINT CROSS-SECTION SETS PER
MEDIUM FOUND ON AN 'O6R'-TAPE.
= 1, TOTAL CROSS SECTION ONLY,
= 2, TOTAL + SCATTERING CROSS SECTION,
= 3, TOTAL, SCATTERING, AND NU*FISSION
CROSS SECTION.

***** THE FOLLOWING DATA ARE READ FROM CARDS BY SCORIN*****

***** SAMBO ANALYSIS INPUT INSTRUCTIONS *****

***** CARD AA (20A4)
SAMBO ANALYSIS INPUT DATA

***** CARD BB (8IS)
? 37 37 0 0 1 0 1
ND NE NA NEX
NNE NT NRESP NEXND

TITLE INFORMATION - WILL BE IMMEDIATELY OUTPUT.

ND - NUMBER OF DETECTORS (SET = 1 IF LE 0)
NNE - NUMBER OF PRIMARY PARTICLE (NEUTRON) ENERGY
BINS TO BE USED (MUST BE LE 'NE').
NE - TOTAL NUMBER OF ENERGY BINS (SET = 0 IF
LE 1).
NT - NUMBER OF TIME BINS FOR EACH DETECTOR (MAY
BE NEGATIVE, IN WHICH CASE '|NTI'| VALUES ARE
TO BE READ AND USED FOR EVERY DETECTOR)
(SET = 0 IF '|NTI'| LE 1).
NA - NUMBER OF ANGLE BINS (SET = 0 IF LE 1).
NRESP - NUMBER OF ENERGY-DEPENDENT RESPONSE FUNCTIONS
TO BE USED (SET = 1 IF LE 0).
NEX - NUMBER OF EXTRA ARRAYS OF SIZE 'NMTG' TO BE
SET ASIDE (USEFUL, FOR EXAMPLE, AS A PLACE TO
STORE AN ARRAY OF GROUP-TO-GROUP TRANSFER
PROBABILITIES FOR ESTIMATOR ROUTINES).
NEXND - NUMBER OF EXTRA ARRAYS OF SIZE 'ND' TO BE
SET ASIDE (USEFUL, FOR EXAMPLE, AS A PLACE
TO STORE DETECTOR-DEPENDENT COUNTERS).

***** CARD CC (3E10.4)

0.	0.	1.0E+4
0.	0.	2.0E+4
0.	0.	3.0E+4
0.	0.	6.0E+4
0.	0.	7.0E+4
0.	0.	9.0E+4
0.	0.	12.0E+4
X	Y	Z

['ND' CARDS WILL BE READ]

X,Y,Z - DETECTOR LOCATION. (IF OTHER THAN POINT DETECTORS ARE DESIRED, THE POINT LOCATIONS MUST STILL BE INPUT AND CAN BE COMBINED WITH ADDITIONAL DATA BUILT IN TO USER ROUTINES TO FULLY DEFINE EACH DETECTOR.)

NOTE THAT THE DISTANCE BETWEEN THE ABOVE POINTS AND THE 'XSTRT', 'YSTRT', 'ZSTRT' VALUES AND THE INITIAL AGE, 'AGSTRT', WILL BE USED TO DEFINE THE LOWER LIMIT OF THE FIRST TIME BIN.

***** CARD DD (20A4)

TITLE OR UNITS FOR TOTAL RESPONSES FOR ALL DETECTORS. WILL BE USED IN COLUMNS 54 THROUGH 133 OF THE TITLE FOR THE PRINT OF THESE ARRAYS.

***** CARD EE (20A4)
4 PI R**2 FLUENCE

TITLE OR UNITS FOR EACH TOTAL RESPONSE FOR ALL DETECTORS.

***** CARD FF (7E10.4)

1.0	1.0	1.0	1.0	1.0	1.0	1.0
1.0	1.0	1.0	1.0	1.0	1.0	1.0
1.0	1.0	1.0	1.0	1.0	1.0	1.0
1.0	1.0	1.0	1.0	1.0	1.0	1.0
1.0	1.0	1.0	1.0	1.0	1.0	1.0
1.0	1.0	1.0	1.0	1.0	1.0	1.0
1.0	1.0	1.0	1.0	1.0	1.0	1.0

RESPONSE FUNCTION VALUES. 'NMTG' VALUES WILL BE READ IN EACH SET OF FF-CARDS. INPUT ORDER IS FROM ENERGY GROUP 1 TO 'NMTG' (ORDER OF DECREASING ENERGY).
NOTE: CARDS EE AND FF ARE READ IN THE FOLLOWING ORDER EE, FF1, . . . , FFN, EE, FF1, . . . , FFN, ETC. 'NRESP' SETS OF EE, FF CARDS WILL BE READ.

***** CARD GG (20A4)

(OMIT IF 'NE' LE 1)

UNITS OF ENERGY-DEPENDENT FLUENCE FOR ALL DETECTORS.

***** CARD HH (14IS)

1	2	3	4	5	6	7	8	9	10	11	12	13	14
15	16	17	18	19	20	21	22	23	24	25	26	27	28
29	30	31	32	33	34	35	36	37					

(OMIT IF 'NE' LE 1)

ENERGY GROUP NUMBERS DEFINING LOWER LIMIT OF ENERGY BINS (IN ORDER OF INCREASING GROUP NUMBER). THE 'NE' (IF > 0) ENERGY MUST EQUAL 'NGPQTG'; THE 'NE' ENTRY MUST BE SET TO 'NMGP + NGPQTG' FOR A COMBINED PROBLEM OR ELSE 'NGPQTG' OR 'NGPQTN'.

***** CARD II (20A4)

(OMIT IF 'INTI' LE 1)

UNITS FOR TIME-DEPENDENT TOTAL RESPONSES FOR ALL DETECTORS.

***** CARD JJ (20A4)

(OMIT IF '|NT|' LE 1 OR '|NE|' LE 1)
UNITS FOR TIME AND ENERGY-DEPENDENT FLUENCE FOR ALL
DETECTORS.

***** CARDS KK (7E10.4)

(OMIT IF '|NT|' LE 1)
'NT' VALUES OF UPPER LIMITS OF TIME BINS FOR EACH
DETECTOR (IN ORDER OF INCREASING TIME AND DETECTOR
NUMBER). THE VALUES FOR EACH DETECTOR MUST START
ON A NEW CARD. '|NT|' VALUES ONLY ARE READ IF '|NT|'
IS NEGATIVE. THEY ARE THEN USED FOR EVERY DETECTOR.

***** CARD LL (20A4)

(OMIT IF '|NA|' LE 1)
UNITS FOR ANGLE- AND ENERGY-DEPENDENT FLUENCE FOR ALL
DETECTORS.

***** CARD MM (7E10.4)

(OMIT IF '|NA|' LE 1)
'NA' VALUES OF UPPER LIMITS OF ANGLE BINS (ACTUALLY
COSINE BINS; THE NA-TH VALUE MUST EQUAL ONE).

FOLLOWING THE INPUT FOR THE 'SAMBO' ANALYSIS MODULE,
INPUT CARDS FOR USER-WRITTEN ROUTINES 'INSCOR',
'SOURCE', AND 'ENDRUN'.

\$\$\$\$\$\$\$\$\$\$ MORSE SAMPLE PROBLEM *****

8.3 Datenausgabe

- 1) Titelkarte
- 2) Ausdruck der eingegebenen Werteparameter der Karten B,C,D.
- 3) Stimmen NGPQTN und NMTG in ihren Werten nicht überein, so erscheint an dieser Stelle der Ausdruck "DDT IS DIFFERENT FROM WTSTART; DDF = ...E+ ..."
DDF ist das Startgewicht des Teilchens, korrigiert für die Quelle die über eine andere Anzahl von Gruppen definiert ist als im aktuellen Fall genutzt wird.
- 4) Bei anderer Eingabe von ISOUR erscheint an dieser Stelle der Ausdruck des mit dem Kartensatz E1 eingegebenen Spektrums.
- 5) Diesem Ausdruck liegt der Kartensatz F zugrunde. Ausgedruckt wird die Zuordnung von Energiegruppe und der entsprechenden oberen Energie, sowie der diesem Energieintervall entsprechenden mittleren Geschwindigkeit der Neutronen.
In Energiegruppe 37 steht der in Karte C als VELTH angegebene Wert.
- 6) Ausdruck der für die "reduction technique" eingegebenen Werte.
Kartensatz I bis L.

1) MORSE SAMPLE PROBLEM, SLAB GEOMETRY, MONODIRECTIONAL BEAM, AREA SOURCE
THIS CASE WAS BEGIN ON FRIDAY, MAY 10, 1985

2) NSTRU NHOST NITS NQUIT NPGTIN NPGTIG NMGP NMIGP NCOLTP IADJM MAXTIM MEDIA MEDALS
S08 1000 5 1 37 0 37 37 0 0 2.00 2 1
ISOUR NGPFIS ISBIAS HTSTRT EBOTN EBOTG TCUT VELTH
4 1 0 1.000E+00 0.0 0.0 1.000E+00 2.200E+05
XSTRT YSTRT ZSTRT AGSTRT UINP UINP WINP
3/4) = 0.0 0.0 0.0 0.0 0.0 0.0 1.000000
GROUP PARAMETERS, GROUP NUMBERS GREATER THAN 37 CORRESPOND TO SECONDARY PARTICLES

5) GROUP UPPER EDGE VELOCITY
[EU] [CM/SEC]
1 1.9700E+07 5.9163E+09
2 1.6900E+07 5.5147E+09
3 1.4900E+07 5.2754E+09
4 1.4200E+07 5.1747E+09
5 1.3800E+07 5.0437E+09
6 1.2800E+07 4.8995E+09
7 1.2200E+07 4.7205E+09
8 1.1100E+07 4.4921E+09
9 1.0000E+07 4.2683E+09
10 9.0500E+06 4.0605E+09
11 8.1900E+06 3.8625E+09
12 7.4100E+06 3.6315E+09
13 6.3800E+06 3.2946E+09
14 4.9700E+06 3.0442E+09
15 4.7200E+06 2.8994E+09
16 4.0700E+06 2.6921E+09
17 3.0100E+06 2.2725E+09
18 2.3900E+06 2.1231E+09
19 2.3100E+06 1.9898E+09
20 1.8300E+06 1.5762E+09
21 1.1100E+06 1.2600E+09
22 5.5000E+05 8.2285E+08
23 1.5800E+05 5.6720E+08
24 1.1100E+05 3.9543E+08
25 2.5000E+04 2.7169E+08
26 2.4900E+04 2.1133E+08
27 2.1900E+04 1.7548E+08
28 1.0300E+04 1.1425E+08
29 3.3500E+03 6.6182E+07
30 1.2300E+03 4.1640E+07
31 5.8300E+02 2.5576E+07
32 1.0100E+02 1.1150E+07
33 2.9000E+01 6.1617E+06
34 1.0700E+01 3.6275E+06
35 3.0500E+00 2.0018E+06
36 1.1300E+00 1.2152E+06
37 4.1400E-01 2.2000E+05

INITIAL RANDOM NUMBER = 00003SFAT31A

6) NSPLT= 1 NKILL= 1 NPAST= 1 NOLEAK= 0 IEBIAS= 0 MXREG= 5 MAXGP= 37
HEIGHT STANDARDS FOR SPLITTING AND RUSSIAN ROULETTE AND PATHLENGTH STRETCHING PARAMETERS

NP1	NDG	NP2	NRG1	NDRG	NRG2	HTH1H1	HTL0H1	HTAUE1	XNU
0	0	0	1	1	2	1.0000E+01	1.5000E+00	9.0000E+00	0.4000E+00
0	0	0	2	1	3	1.0000E+01	1.5000E+00	9.0000E+00	0.2000E+00
0	0	0	3	1	4	1.0000E+01	1.5000E+00	9.0000E+00	0.1000E+00
0	0	0	4	1	5	1.0000E+01	1.5000E+00	9.0000E+00	0.0

NSOUR= 0 MFISTP= 0 NKCALC= 0 NORMF= 0

7) "Combinatorial geometry" output

Diese Daten erlauben die Kontrolle der Karten
CGA bis CGF.

7)

SAMPLE PROBLEM FOR HORSE

IUDPT = 0

IDBG = 0

BODY DATA

RPP	1	0	0	0 S0000000+04	0	0	0 S0000000+04	0	0	0 10000000+02	3
RPP	2	0	0	0 S0000000+04	0	0	0 S0000000+04	0	0	0 20000000+02	11
RPP	3	0	0	0 S0000000+04	0	0	0 S0000000+04	0	0	0 30000000+02	19
RPP	4	0	0	0 S0000000+04	0	0	0 S0000000+04	0	0	0 40000000+02	27
RPP	5	0	0	0 S0000000+04	0	0	0 S0000000+04	0	0	0 50000000+02	35
RPP	6	0	0	0 S0000000+04	0	0	0 S0000000+04	0	0	0 60000000+02	43
RPP	7	0	0	0 S0000000+04	0	0	0 S0000000+04	0	0	0 70000000+02	51
RPP	8	0	0	0 S0000000+04	0	0	0 S0000000+04	0	0	0 80000000+02	59
RPP	9	0	0	0 S0000000+04	0	0	0 S0000000+04	0	0	0 90000000+02	67
RPP	10	0	0	0 S0000000+04	0	0	0 S0000000+04	0	0	0 10000000+02	75
RPP	11	0	0	0 S0000000+04	0	0	0 S0000000+04	0	0	0 11000000+02	83
RPP	12	0	0	0 S0000000+04	0	0	0 S0000000+04	0	0	0 12000000+02	91
RPP	13	0	0	0 S0000000+04	0	0	0 S0000000+04	0	0	0 13000000+02	99
RPP	14	0	0	0 S0000000+04	0	0	0 S0000000+04	0	0	0 14000000+02	107
RPP	15	0	0	0 S0000000+04	0	0	0 S0000000+04	0	0	0 15000000+02	115
RPP	16	-0	10000000+02	0 S10000000+04	-0	0	0 S10000000+04	0	0	0 15000000+02	115
RPP	17	-0	20000000+02	0 S20000000+04	-0	0	0 S20000000+04	-0	0	0 16000000+02	123
RPP	18	-0	30000000+02	0 S30000000+04	-0	0	0 S30000000+04	-0	0	0 17000000+02	131
END	19	0	0	0.0	0.0	0.0	0.0	0.0	0.0	0.0	142

NUMBER OF BODIES 18

LENGTH OF FPD-ARRAY 152

INPUT ZONE DATA

FE	0	1	0	0	0	0	0	0	0	0	1
FE	1	2	-1	0	0	0	0	0	0	0	2
FE	2	3	-2	0	0	0	0	0	0	0	3
FE	3	4	-3	0	0	0	0	0	0	0	4
FE	4	5	-4	0	0	0	0	0	0	0	5
FE	5	6	-5	0	0	0	0	0	0	0	6
FE	6	7	-6	0	0	0	0	0	0	0	7
FE	7	8	-7	0	0	0	0	0	0	0	8
FE	8	9	-8	0	0	0	0	0	0	0	9
FE	9	10	-9	0	0	0	0	0	0	0	10
FE	10	11	-10	0	0	0	0	0	0	0	11
FE	11	12	-11	0	0	0	0	0	0	0	12
FE	12	13	-12	0	0	0	0	0	0	0	13
FE	13	14	-13	0	0	0	0	0	0	0	14
FE	14	15	-14	0	0	0	0	0	0	0	15
FE	15	16	-15	0	0	0	0	0	0	0	16
FE	16	17	-16	0	0	0	0	0	0	0	17
FE	17	18	-17	0	0	0	0	0	0	0	18
END	18	0	0	0	0	0	0	0	0	0	19

NUMBER OF INPUT ZONES 18

NUMBER OF CODE ZONES 18

LENGTH OF INTEGER ARRAY 465

CODE ZONE	INPUT ZONE	ZONE DATA LOC.	NO. OF BODIES	REGION NO.	MEDIA NO.
1	1	127	1	1	1
2	2	132	1	1	1
3	3	141	1	1	1
4	4	150	1	1	1
5	5	159	1	1	1
6	6	168	1	1	1
7	7	177	1	1	1
8	8	186	1	1	1
9	9	195	1	1	1
10	10	204	1	1	1
11	11	213	1	1	1
12	12	222	1	1	1
13	13	231	1	1	1
14	14	240	1	1	1
15	15	249	1	1	1
16	16	258	1	1	1
17	17	267	1	1	1
18	18	276	1	1	1

I	KR1(I)	KR2(I)
1	1	1
2	2	2
3	3	3
4	4	4
5	5	5
6	6	6
7	7	7
8	8	8
9	9	9
10	10	10
11	11	11
12	12	12
13	13	13
14	14	14
15	15	15
16	16	16
17	17	17
18	18	18

HORSE REGION IN INPUT ZONE(I) ARRAY MRIZ(I), I=1,18

1 1 1 1 2 2 2 2 3 3 3 3 4 4 4 4 5

HORSE MEDIA IN INPUT ZONE(I) ARRAY MMIZ(I), I=1,18

2 2 2 2 2 2 2 2 2 2 2 2 2 2 2 2 1 1 0

"Cross section output"

- 8) Karten XA bis XL.
- 9) Ausdruck der eingelesenen Elemente; es werden die Überschriften angegeben die den Wirkungsquerschnitten auf der Bibliothek voranstehen.
Es bedeuten:
 - a) Identifizierungsnummer des Elements in der Bibliothek
 - b) Kurzzeichen des Elements
 - c) Legendre Koeffizient
 - d) Anzahl der Energiegruppen (37 Neutronen, 22 Gammas)
 - e) Art des Spektrums
 - f) maximale Temperatur für die Gültigkeit der Wirkungsquerschnitte (in Kelvin)
 - g) Organisationsdaten für die Bibliothek, z.B. Name der Bibliothek, Datum der Erstellung der Datei.
- 10) Die "mixing table" zeigt an die Anzahl der verwendeten Elemente überhaupt, und die in einem Medium enthaltenen Elemente, die gemischt werden sollen. Für ein Element in einem Gemisch oder einem Molekül gelten andere Atomdichten, siehe dazu Abschnitt 6.

Für dieses Gemisch erstellt das Programm neue Wirkungsquerschnitte.

8) FE-SLABS MAX. AUSDEHNUNG 150 CM. ALBEDO: ON

NUMBER OF PRIMARY GROUPS (NP) 39
NUMBER OF PRIMARY DOWNSCATTERS (NDS) 39
NUMBER OF SECONDARY GROUPS (NG) 0
NUMBER OF SECONDARY DOWNSCATTERS (NDG) 0
NUMBER OF PRIM+SEC GROUPS (INGP) 58
TABLE LENGTH (ITBL) 61
LOC OF WITHIN GROUP (SIG GG) (ISGG) 4
NUMBER OF MEDIA (NMED) 2
NUMBER OF INPUT ELEMENTS (NELEM) 22
NUMBER OF MIXING ENTRIES (NMIX) 22
NUMBER OF COEFFICIENTS (NCOEF) 4
NUMBER OF ANGLES (NSCT) 3
RESTORE COEFF (ISTAT) 1
ADJOINT SWITCH (FROM MORSE) 0

INPUT/OUTPUT OPTIONS

IRDSG (AS READ) 0
ISTR (AS STORE) 0
IFMU (MUS) 0
IMOM (MOMENTS) 0
IPRIN (ANGLES,PROB) 0
IPUN (IMPOSSIBLE COEF) 0
CARD FORMAT (IDTF) 0
INPUT TAPE (IXTAP) 0
MORSEC TAPE (JXTAPE) 0
DGR TAPE (IDGRT) 0

9)

ELEMENTS FROM LIBRARY TAPE
IDENTIFIERS 34 35 36 37 94 95 96 97

*** ELEMENT 1 ID= 34 N P0 32N,21G 1/E MAX.T=300 DPL-1 /FEHGI 6-74

*** ELEMENT 2 ID= 94 FE P0 32N,21G 1/E MAX.T=300 DPL-1B/FEHGI 1-75

STORAGE ALLOCATIONS
CROSS SECTIONS START AT 5783
LAST LOCATION USED (PERM) 17335
TEMP LOCATIONS USED 63888 TO 70000
EXCESS STORAGE (TEMP) 49779
START OF LEGENDRE COEFF 14829

*** ELEMENT 1 ID= 34 N P0 32N,21G 1/E MAX.T=300 DPL-1 /FEHGI 6-74

*** ELEMENT 1 ID= 35 N P1 32N,21G 1/E MAX.T=300 DPL-1 /FEHGI 6-74

*** ELEMENT 1 ID= 36 N P2 32N,21G 1/E MAX.T=300 DPL-1 /FEHGI 6-74

*** ELEMENT 1 ID= 37 N P3 32N,21G 1/E MAX.T=300 DPL-1 /FEHGI 6-74

*** ELEMENT 2 ID= 94 FE P0 32N,21G 1/E MAX.T=300 DPL-1B/FEHGI 1-75

*** ELEMENT 2 ID= 95 FE P1 32N,21G 1/E MAX.T=300 DPL-1B/FEHGI 1-75

*** ELEMENT 2 ID= 96 FE P2 32N,21G 1/E MAX.T=300 DPL-1B/FEHGI 1-75

*** ELEMENT 2 ID= 97 FE P3 32N,21G 1/E MAX.T=300 DPL-1B/FEHGI 1-75

a) b) c) d) e) f) g)

10)

MIXING TABLE

MEDIA 1 CONTAINS ELEMENT 1 WITH DENSITY 5.3800E-05

MEDIA 2 CONTAINS ELEMENT 2 WITH DENSITY 8.4760E-02

11) Wirkungsquerschnitte für Medium 1

Es bedeuten:

- a) Makroskopischer Wirkungsquerschnitt Σ_t
(totaler W.Q. x Atomdichte)
- b) Cross-section for the name typ particle to exit a collision;
times the multiplicity of such particles.
- c) Wahrscheinlichkeit für "upscatter"
- d) SIGST/SIGT
- e) Wahrscheinlichkeit für die Erzeugung sekundärer Ereignisse.
- f) $v \cdot \Sigma_f / \Sigma_t$
- g) Übergangswahrscheinlichkeit Gruppe 1 in Gruppe 1
- h) Übergangswahrscheinlichkeit Gruppe 1 in Gruppe 2
- i) Übergangswahrscheinlichkeit Gruppe 1 in Gruppe 3
etc.

12) Detektorkoordinaten

Achtung: Bei Benutzung der "Slab-geometry" werden die x,y-Koordinaten des Detektors in dem BLOCK-DATA im member MAIN angegeben. Diese werden weiter unten mit den SOURCE-DATA ausgegeben.

Es ist T_0 die minimale Flugzeit bis zum Detektor. Das Alter und die Position der Teilchen werden benutzt, um eine minimale Ankunftszeit (T_0) für jeden Detektor zu erhalten, welche die untere Kante des ersten Zeitbins definiert.

$$T_0 = AGSTART + \sqrt{(XD - XSTART)^2 + (YD - YSTART)^2 + (ZD - ZSTART)^2 / V_L}$$

mit den Startwerten von:

AGSTART - Alter .

WTSTART - statistischem Teilchengewicht

XSTART
YSTART} - Position einer diskreten Quelle
ZSTART

XD
YD } - Detektorpositionen
ZD

V_L - maximalen Geschwindigkeit
(entspricht der Geschwindigkeit der Neutronen aus Energiegruppe 1, sonst ist die Lichtgeschwindigkeit gemeint.)

13) Ausdruck der für ein Material eingelesenen "response" für einen Detektor.

12)

SAMBO ANALYSIS INPUT DATA

NO= 15, NNE= 37, NE= 37, NT= 0, NA= 0, NRESP= 1, NX= 0, NXNO= 1

DET	X	Y	Z	RAO	T0
1	0.0	0.0	1.0000E+01	1.0000E+01	1.6303E-09
2	0.0	0.0	2.0000E+01	2.0000E+01	3.3905E-09
3	0.0	0.0	3.0000E+01	3.0000E+01	5.0706E-09
4	0.0	0.0	4.0000E+01	4.0000E+01	6.7510E-09
5	0.0	0.0	5.0000E+01	5.0000E+01	8.4513E-09
6	0.0	0.0	6.0000E+01	6.0000E+01	1.0142E-08
7	0.0	0.0	7.0000E+01	7.0000E+01	1.1832E-08
8	0.0	0.0	8.0000E+01	8.0000E+01	1.3522E-08
9	0.0	0.0	9.0000E+01	9.0000E+01	1.5212E-08
10	0.0	0.0	1.0000E+02	1.0000E+02	1.6903E-08
11	0.0	0.0	1.1000E+02	1.1000E+02	1.8593E-08
12	0.0	0.0	1.2000E+02	1.2000E+02	2.0283E-08
13	0.0	0.0	1.3000E+02	1.3000E+02	2.1973E-08
14	0.0	0.0	1.4000E+02	1.4000E+02	2.3664E-08
15	0.0	0.0	1.5000E+02	1.5000E+02	2.5354E-08

13)

GROUP	RESP[1]
1	1.0000E+00
2	1.0000E+00
3	1.0000E+00
4	1.0000E+00
5	1.0000E+00
6	1.0000E+00
7	1.0000E+00
8	1.0000E+00
9	1.0000E+00
10	1.0000E+00
11	1.0000E+00
12	1.0000E+00
13	1.0000E+00
14	1.0000E+00
15	1.0000E+00
16	1.0000E+00
17	1.0000E+00
18	1.0000E+00
19	1.0000E+00
20	1.0000E+00
21	1.0000E+00
22	1.0000E+00
23	1.0000E+00
24	1.0000E+00
25	1.0000E+00
26	1.0000E+00
27	1.0000E+00
28	1.0000E+00
29	1.0000E+00
30	1.0000E+00
31	1.0000E+00
32	1.0000E+00
33	1.0000E+00
34	1.0000E+00
35	1.0000E+00
36	1.0000E+00
37	1.0000E+00

NUMBER OF PRIMARY ENERGY BINS 37
TOTAL NUMBER OF ENERGY BINS 37

BIN NO.	LOWER LIMIT	LOWER ENERGY GROUP	DELTA E
1	1.970E+07	1.690E+07	2.800E+06
2	1.490E+07	1.420E+07	2.000E+06
3	1.420E+07	1.380E+07	2.000E+06
4	1.380E+07	1.220E+07	4.000E+06
5	1.220E+07	1.110E+07	1.000E+06
6	1.110E+07	1.000E+07	1.000E+06
7	1.000E+07	9.050E+06	9.500E+05
8	9.050E+06	8.190E+06	8.500E+05
9	8.190E+06	7.410E+06	7.000E+05
10	7.410E+06	6.380E+06	1.030E+06
11	6.380E+06	4.970E+06	1.410E+06
12	4.970E+06	4.720E+06	2.500E+05
13	4.720E+06	4.670E+06	5.000E+05
14	4.670E+06	4.620E+06	5.000E+05
15	4.620E+06	4.570E+06	5.000E+05
16	4.570E+06	4.010E+06	5.600E+05
17	4.010E+06	2.390E+06	6.200E+05
18	2.390E+06	2.310E+06	8.000E+04
19	2.310E+06	1.630E+06	4.800E+05
20	1.630E+06	1.110E+06	2.000E+05
21	1.110E+06	5.500E+05	5.600E+05
22	5.500E+05	1.110E+05	3.920E+05
23	1.110E+05	1.110E+05	4.700E+04
24	1.110E+05	5.250E+04	5.850E+04
25	5.250E+04	4.800E+04	7.720E+04
26	4.800E+04	1.900E+04	2.900E+03
27	1.900E+04	1.930E+04	1.150E+04
28	1.930E+04	3.550E+03	5.950E+03
29	3.550E+03	1.230E+03	2.120E+03
30	1.230E+03	5.830E+02	6.470E+02
31	5.830E+02	1.910E+02	4.820E+02
32	1.910E+02	2.900E+01	7.200E+01
33	2.900E+01	1.670E+01	1.830E+01
34	1.670E+01	3.050E+00	2.640E+00
35	3.050E+00	1.130E+00	1.930E+00
36	1.130E+00	4.140E-01	2.160E-01
37	4.140E-01	0.0	4.140E-01

NUMBER OF TIME BINS 0

NUMBER OF ANGLE BINS 0
UPPER LIMITS OF COSINE BINS

2165 CELLS USED BY ANALYSIS, 38500 CELLS REMAIN UNUSED.

- 14) Pro "Batch" werden die mittleren Werte der Quelle und die Anzahl der Kollisionen angegeben.

Es bedeuten:

WTAVE	-	Teilchengewicht
IAVE	-	Gruppenkoordinate
UAVE VAVE }	-	Richtungskosinus
WAVE		
XAVE YAVE }	-	Raumkoordinaten
ZAVE		
AGEAVE	-	Alter
SOURCE	-	Anzahl der berücksichtigten Teilchen
SPLIT(D)	-	Anzahl der splitting-Vorgänge
FISHN	-	Anzahl der sekundären Teilchen die: durch Fission;
GAMGEN	-	durch -Erzeugung entstanden
REALCOLL	-	Anzahl der Kollisionen
ALBEDO	-	Anzahl der durch Albedo zurück- gestreuten Teilchen
BDRYX	-	Anzahl der "Boundary-crossing" Übergänge
ESCAPE	-	Anzahl der Teilchen die die Geometrie des Streumediums verlassen.
E-CUT	-	Anzahl der Teilchen die durch einen Energie "cut" verloren gingen.
TIMEKILL	-	Anzahl der Teilchen die ein Zeitlimit überschritten.

TIME REQUIRED FOR INPUT WAS LESS THAN ONE SECOND.
YOU ARE USING THE DEFAULT VERSION OF STRUN WHICH DOES NOTHING

***START BATCH 1 RANDOM=00003SF0A731A

14) SOURCE DATA
YOU ARE USING A SOURCE VERSION WHICH SETS WAVE TO DDF AND PROVIDES AN ENERGY IG.
IF IPOINT = 0, AN AREA SOURCE IS SELECTED,
 - 1, A POINT SOURCE IS SELECTED.
IF IBEM = 0, ISOTROPIC PARTICLE DIRECTION IS SELECTED,
 - 1, MONODIRECTIONAL PARTICLE DIRECTION IS SELECTED.
SWITCHES ARE SET ON: IPOINT = 0 IBEM = 1
POS. OF THE SOURCE: ZSDUR = 0.0

THE SOURCE AREA IS PERPENDICULAR TO THE Z-DIRECTION AND EXTENDS FROM
XSL = 2400.00 TO XSU = 2500.00 AND FROM
YSL = 2400.00 TO YSU = 2500.00

ALL DETECTOR AREAS HAVE THE SAME VALUE. THEY EXTEND FROM
XDL = 2400.00 TO XDU = 2500.00 AND FROM
YDL = 2400.00 TO YDU = 2500.00

YOU ARE USING THE DEFAULT VERSION OF GTMID WHICH ASSUMES GEOMETRY AND XSECT MEDIA ARE IDENTICAL.
WTAVE IAUE UAVE UAVE WAVE XAVE YAVE ZAVE AGEAVE
S.000E+02 4.00 0.0 0.0 1.0000 2.499E+03 2.501E+03 0.0 0.0
YOU ARE USING THE DEFAULT VERSION OF ALBOO WHICH PERFORMS SPECULAR REFLECTION.

NUMBER OF COLLISIONS OF TYPE NCOLL
SOURCE SPLIT(D) FISHN GAMGEN REALCOLL ALBEDO BORYX ESCAPE E-CUT TIMEKILL R R KILL R R SURV GAMLOST
500 592 0 0 26886 718 2150 0 0 0 0 0 1092 151 0

TIME REQUIRED FOR THE PRECEDING BATCH WAS 6 SECONDS.
***START BATCH 2 RANDOM=ES06850CBA42

SOURCE DATA
WTAVE IAUE UAVE UAVE WAVE XAVE YAVE ZAVE AGEAVE
S.000E+02 4.00 0.0 0.0 1.0000 2.499E+03 2.501E+03 0.0 0.0

NUMBER OF COLLISIONS OF TYPE NCOLL
SOURCE SPLIT(D) FISHN GAMGEN REALCOLL ALBEDO BORYX ESCAPE E-CUT TIMEKILL R R KILL R R SURV GAMLOST
500 511 0 0 24134 748 1846 0 0 0 0 0 1011 141 0

TIME REQUIRED FOR THE PRECEDING BATCH WAS 5 SECONDS
***START BATCH 3 RANDOM=9BCAE94ECAE2

SOURCE DATA
WTAVE IAUE UAVE UAVE WAVE XAVE YAVE ZAVE AGEAVE
S.000E+02 4.00 0.0 0.0 1.0000 2.501E+03 2.498E+03 0.0 0.0

NUMBER OF COLLISIONS OF TYPE NCOLL
SOURCE SPLIT(D) FISHN GAMGEN REALCOLL ALBEDO BORYX ESCAPE E-CUT TIMEKILL R R KILL R R SURV GAMLOST
500 823 0 0 36906 737 2631 0 0 0 0 0 1323 184 0

TIME REQUIRED FOR THE PRECEDING BATCH WAS 8 SECONDS.
***START BATCH 4 RANDOM=DE759AFC4942

SOURCE DATA
WTAVE IAUE UAVE UAVE WAVE XAVE YAVE ZAVE AGEAVE
S.000E+02 4.00 0.0 0.0 1.0000 2.498E+03 2.497E+03 0.0 0.0

NUMBER OF COLLISIONS OF TYPE NCOLL
SOURCE SPLIT(D) FISHN GAMGEN REALCOLL ALBEDO BORYX ESCAPE E-CUT TIMEKILL R R KILL R R SURV GAMLOST
500 755 0 0 35763 784 2735 0 0 0 0 0 1255 181 0

TIME REQUIRED FOR THE PRECEDING BATCH WAS 8 SECONDS.
***START BATCH 5 RANDOM=6737AC3DAB82

SOURCE DATA
WTAVE IAUE UAVE UAVE WAVE XAVE YAVE ZAVE AGEAVE
S.000E+02 4.00 0.0 0.0 1.0000 2.502E+03 2.503E+03 0.0 0.0

NUMBER OF COLLISIONS OF TYPE NCOLL
SOURCE SPLIT(D) FISHN GAMGEN REALCOLL ALBEDO BORYX ESCAPE E-CUT TIMEKILL R R KILL R R SURV GAMLOST
500 773 0 0 38837 924 2930 0 0 0 0 0 1273 203 0

TIME REQUIRED FOR THE PRECEDING BATCH WAS 9 SECONDS.

THIS CASE WAS RUN ON FRIDAY, MAY 10, 1985

15) FLUENCE = AREA

DETECTOR	RESPONSE(DETECTOR)			TOTAL	FSD
	UNCOLL	FSD	RESPONSE		
1	9.9505E-01	0.00028	1.4723E+01	0.65052	
2	1.1295E-01	0.00044	9.5958E+00	0.69492	
3	1.2769E-02	0.00055	5.3145E+00	0.06663	
4	1.4435E-03	0.00047	2.8044E+00	0.15397	
5	1.6317E-04	0.00052	1.4742E+00	0.23367	
6	1.8449E-05	0.00029	9.2548E-01	0.23855	
7	2.0655E-06	0.0	2.6970E-01	0.36649	
8	2.3576E-07	0.00020	2.0459E-01	0.83753	
9	2.6653E-08	0.00045	1.4307E-01	0.84111	
10	3.0127E-09	0.00035	2.6525E-01	0.63563	
11	3.4061E-10	0.00027	5.0041E-02	0.65978	
12	3.8505E-11	0.0	2.1761E-03	1.00000	
13	4.3530E-12	0.00017	0.0	0.0	
14	4.9209E-13	0.00052	0.0	0.0	
15	5.6628E-14	0.00035	0.0	0.0	

RRKILL	-	Anzahl der Teilchen, die das "Russische Roulette" nicht überlebt haben. (Ist das Teilchengewicht kleiner als WTLOW, so wird R.R. gespielt. Überlebt das Teilchen, so ist sein neues Gewicht WTAVE1 (Karte J).).
RRSURV	-	Anzahl der Teilchen, die R.R. überlebten.
GAMLOST	-	Anzahl der Teilchen, die durch γ -Erzeugung verloren wurden.

Allen Werten vorangestellt sind die Daten über die Fläche der Detektoren und der Teilchenquelle. Außerdem werden Aussagen über die Art der Quelle und die Teilchenausbreitung gemacht.

15) Es bedeuten:

UNCOLL RESPONSE	-	uncollided response
TOTAL RESPONSE	-	Fluenz integriert über jede "response"-Funktion für jeden Detektor.
FSD	-	fractional standard deviation (in %)

Liegt die Detektorfläche auf der äußersten Grenzfläche der Streugeometrie, so wird für diesen Detektor zwar die "uncollided response" angegeben, nicht jedoch die "total response".

16) Ausdruck der Anzahl der Neutronen pro eV, die durch die Detektorfläche hindurchtreten, bezogen auf ein Quellteilchen. Diese Größe wird pro Energieintervall und Detektor angegeben.

Multipliziert man diese Anzahl der Neutronen mit ΔE , der Größe des Energiebins, und integriert über sämtliche Energieintervalle, so erhält man die "total response", sofern die "response"-Funktion für jedes Energieintervall den Wert 1 hat.

161

FLUENCE(ENERGY , DETECTOR) FLUENCE = AREA/EU

FLUENCE(ENERGY, DETECTOR) FLUENCE = AREA/EV

EFLUENCE ENERGY DETECTOR) EFLUENCE = AREA(EFLU)

17) Statistik für die gesamte Population
(Sie erklärt sich von selbst).

EXTRA ARRAYS OF LENGTH NO

EXT1(15)	4106	2539	1501	691	412	253	80	44
[1]	32	60	11	1	0	0	0	
{	9)								

TIME REQUIRED FOR THE PRECEDING 5 BATCHES WAS 39 SECONDS.

17) NEUTRON DEATHS

	NUMBER	WEIGHT
KILLED BY RUSSIAN ROULETTE	5954	6.46729E+03
ESCAPED	0	0.0
REACHED ENERGY CUTOFF	0	0.0
REACHED TIME CUTOFF	0	0.0

NUMBER OF SCATTERINGS

MEDIUM	NUMBER
1	0
2	162526
TOTAL	162526

18) Die folgenden Ausdrücke erklären sich von selbst.

Es sind die Anzahl der Streuergebnisse und deren Teilchengewicht, angegeben pro Energie und nach Regionen unterschieden.

Es werden angegeben:

- a) real scattering counters
- b) albedo scattering counters
- c) number of splittings
- d) number of splittings prevented by lack of room
- e) number of russian roulette kills
- f) number of russian roulette survivals.

18) REAL SCATTERING COUNTERS

ENERGY GROUP	REGION 1 NUMBER	REGION 1 WEIGHT	REGION 2 NUMBER	REGION 2 WEIGHT	REGION 3 NUMBER	REGION 3 WEIGHT	REGION 4 NUMBER	REGION 4 WEIGHT	REGION 5 NUMBER	REGION 5 WEIGHT
1	6	0.0	6	0.0	6	0.0	6	0.0	6	0.0
2	6	0.0	6	0.0	6	0.0	6	0.0	6	0.0
3	6	0.0	6	0.0	6	0.0	6	0.0	6	0.0
4	544	4.34E+03	544	0.0	544	0.0	544	0.0	544	0.0
5	137	8.90E+02	137	8.59E+00	137	0.0	137	0.0	137	0.0
6	44	2.78E+02	44	0.0	44	0.0	44	0.0	44	0.0
7	21	1.27E+02	21	0.0	21	0.0	21	0.0	21	0.0
8	28	1.32E+02	28	0.0	28	0.0	28	0.0	28	0.0
9	18	2.14E+02	18	0.0	18	0.0	18	0.0	18	0.0
10	11	5.71E+01	11	0.0	11	0.0	11	0.0	11	0.0
11	38	2.14E+02	38	0.0	38	0.0	38	0.0	38	0.0
12	19	1.18E+02	19	0.0	19	0.0	19	0.0	19	0.0
13	52	3.61E+02	52	0.0	52	0.0	52	0.0	52	0.0
14	39	1.81E+02	39	0.0	39	0.0	39	0.0	39	0.0
15	72	4.99E+02	72	0.0	72	0.0	72	0.0	72	0.0
16	285	2.28E+03	285	0.0	285	0.0	285	0.0	285	0.0
17	240	1.45E+03	240	0.0	240	0.0	240	0.0	240	0.0
18	34	9.99E+02	34	0.0	34	0.0	34	0.0	34	0.0
19	281	1.61E+03	281	0.0	281	0.0	281	0.0	281	0.0
20	1045	5.94E+03	1045	0.0	1045	0.0	1045	0.0	1045	0.0
21	6036	3.18E+04	6036	0.0	6036	0.0	6036	0.0	6036	0.0
22	21040	9.89E+04	21040	0.0	21040	0.0	21040	0.0	21040	0.0
23	6350	2.99E+04	6350	0.0	6350	0.0	6350	0.0	6350	0.0
24	9218	4.31E+04	9218	0.0	9218	0.0	9218	0.0	9218	0.0
25	60800	2.80E+05	60800	0.0	60800	0.0	60800	0.0	60800	0.0
26	824	3.64E+03	824	0.0	824	0.0	824	0.0	824	0.0
27	3486	1.49E+04	3486	0.0	3486	0.0	3486	0.0	3486	0.0
28	9161	4.12E+04	9161	0.0	9161	0.0	9161	0.0	9161	0.0
29	4564	2.08E+04	4564	0.0	4564	0.0	4564	0.0	4564	0.0
30	2324	1.85E+04	2324	0.0	2324	0.0	2324	0.0	2324	0.0
31	5117	2.41E+04	5117	0.0	5117	0.0	5117	0.0	5117	0.0
32	3591	1.63E+04	3591	0.0	3591	0.0	3591	0.0	3591	0.0
33	2802	9.16E+03	2802	0.0	2802	0.0	2802	0.0	2802	0.0
34	1596	7.08E+03	1596	0.0	1596	0.0	1596	0.0	1596	0.0
35	947	3.89E+03	947	0.0	947	0.0	947	0.0	947	0.0
36	456	1.91E+03	456	0.0	456	0.0	456	0.0	456	0.0
37	101	3.68E+02	101	0.0	101	0.0	101	0.0	101	0.0
38			30	1.06E+02			8	3.98E+01		
39									7	2.11E+01
40									6	0.0
41									5	0.0
42									4	0.0
43									3	0.0
44									2	0.0
45									1	0.0
46									0	0.0

ALBEDO SCATTERING COUNTERS

ENERGY GROUP	REGION 1 NUMBER	REGION 1 WEIGHT	REGION 2 NUMBER	REGION 2 WEIGHT	REGION 3 NUMBER	REGION 3 WEIGHT	REGION 4 NUMBER	REGION 4 WEIGHT	REGION 5 NUMBER	REGION 5 WEIGHT
1	6	0.0	6	0.0	6	0.0	6	0.0	6	0.0
2	6	0.0	6	0.0	6	0.0	6	0.0	6	0.0
3	6	0.0	6	0.0	6	0.0	6	0.0	6	0.0
4	6	0.0	6	0.0	6	0.0	6	0.0	6	0.0
5	6	0.0	6	0.0	6	0.0	6	0.0	6	0.0
6	6	0.0	6	0.0	6	0.0	6	0.0	6	0.0
7	6	0.0	6	0.0	6	0.0	6	0.0	6	0.0
8	6	0.0	6	0.0	6	0.0	6	0.0	6	0.0
9	6	0.0	6	0.0	6	0.0	6	0.0	6	0.0
10	11	4.48E+01	11	0.0	11	0.0	11	0.0	11	0.0
11	14	2.92E+01	14	0.0	14	0.0	14	0.0	14	0.0
12	6	3.98E+00	6	0.0	6	0.0	6	0.0	6	0.0
13	7	5.56E+00	7	0.0	7	0.0	7	0.0	7	0.0
14	11	7.11E+00	11	0.0	11	0.0	11	0.0	11	0.0
15	10	8.87E+00	10	0.0	10	0.0	10	0.0	10	0.0
16	1	1.77E+01	1	0.0	1	0.0	1	0.0	1	0.0
17	1	2.01E+01	1	0.0	1	0.0	1	0.0	1	0.0
18	6	5.65E+01	6	0.0	6	0.0	6	0.0	6	0.0
19	6	8.84E+01	6	0.0	6	0.0	6	0.0	6	0.0
20	9	2.28E+02	9	0.0	9	0.0	9	0.0	9	0.0
21	14	1.88E+02	14	0.0	14	0.0	14	0.0	14	0.0
22	393	1.50E+03	393	0.0	393	0.0	393	0.0	393	0.0
23	1150	3.67E+03	1150	0.0	1150	0.0	1150	0.0	1150	0.0
24	286	8.11E+02	286	0.0	286	0.0	286	0.0	286	0.0
25	321	1.08E+03	321	0.0	321	0.0	321	0.0	321	0.0
26	696	2.03E+03	696	0.0	696	0.0	696	0.0	696	0.0
27	147	5.24E+02	147	0.0	147	0.0	147	0.0	147	0.0
28	294	5.94E+02	294	0.0	294	0.0	294	0.0	294	0.0
29	118	2.88E+02	118	0.0	118	0.0	118	0.0	118	0.0
30	134	3.49E+02	134	0.0	134	0.0	134	0.0	134	0.0
31	579	1.25E+02	579	0.0	579	0.0	579	0.0	579	0.0
32	171	1.13E+02	171	0.0	171	0.0	171	0.0	171	0.0
33	7	8.88E+01	7	0.0	7	0.0	7	0.0	7	0.0
34	1	8.11E+01	1	0.0	1	0.0	1	0.0	1	0.0
35	5	5.97E+01	5	0.0	5	0.0	5	0.0	5	0.0
36	1	4.93E+01	1	0.0	1	0.0	1	0.0	1	0.0
37	1	5.55E+01	1	0.0	1	0.0	1	0.0	1	0.0

